

Situations de non-équilibre local durant les transferts couplés chaleur/humidité dans les matériaux de construction biosourcés.

Prof. Patrick Perré

Directeur du LGPM et

Titulaire de la chaire de biotechnologies



CentraleSupélec



LGPM
GÉNIE DES PROCÉDÉS ET MATÉRIAUX

Vos 20 prochaines minutes

- Généralités sur les matériaux bio-sourcés
- Formulation macroscopique des transferts couplés
- Phénomènes locaux responsable du non-équilibre local
- Quelques résultats de modélisation à double échelle de porosité
- Conclusions et perspectives

Matériaux bio-sourcés = tiges des plantes

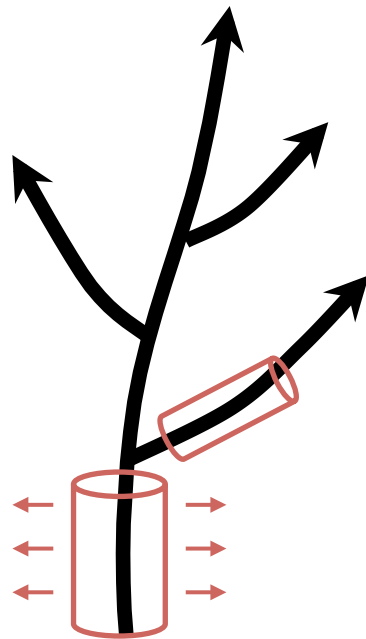
Major roles of stems in plants

Vascular system

Mechanical support

Shape adaptation

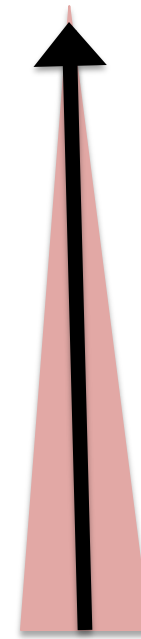
Resistance to biological attacks



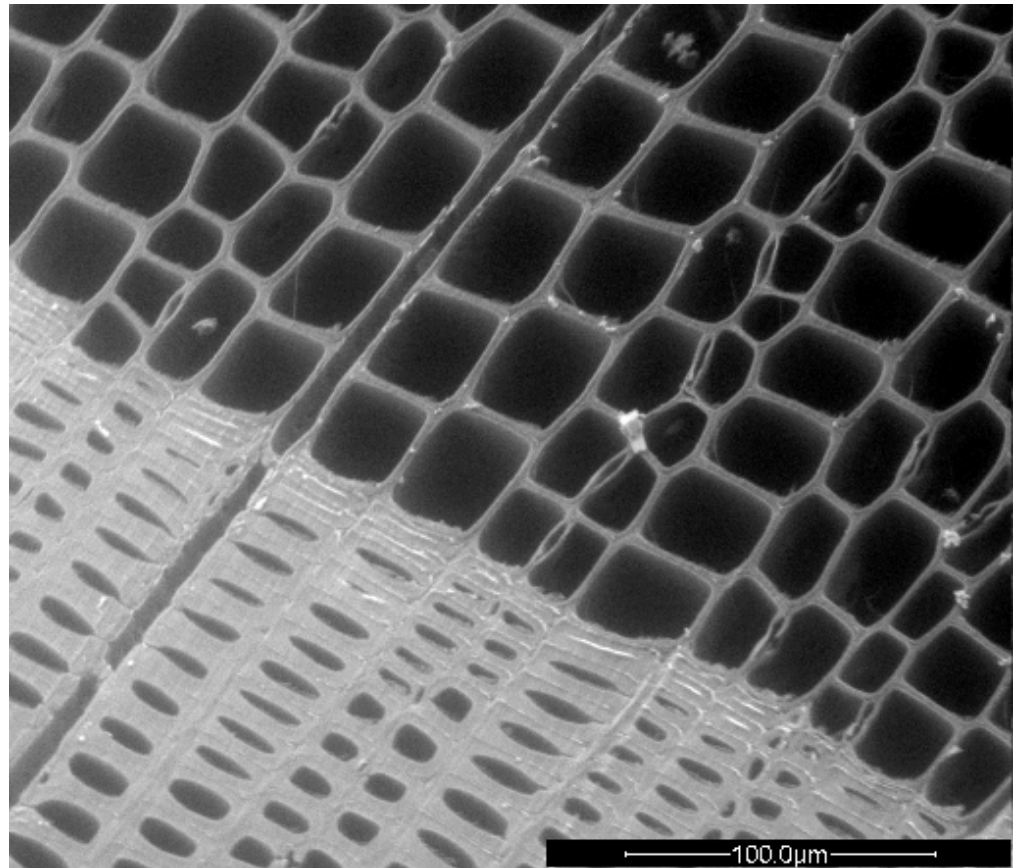
Primary growth

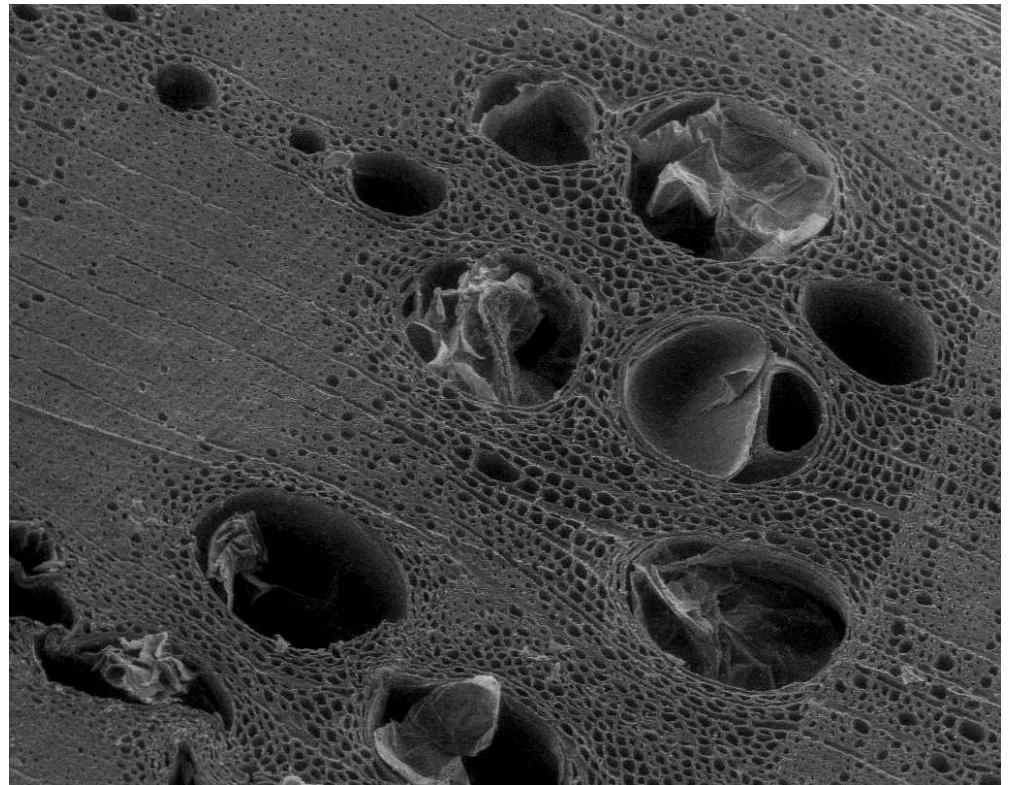
Secondary growth

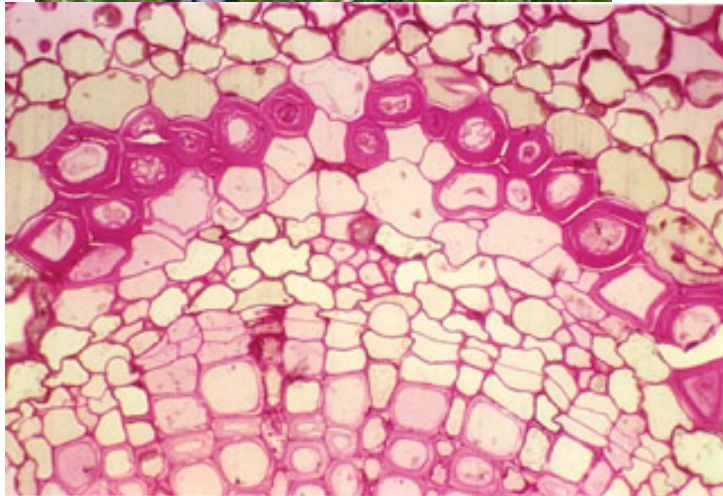
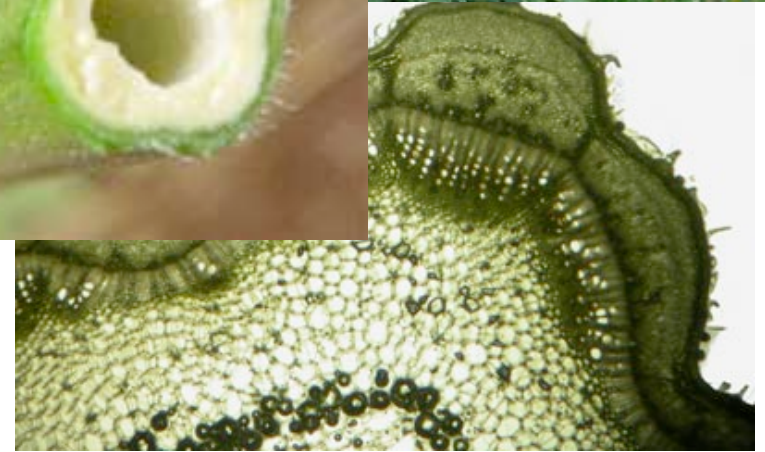
Trees



Annual plants







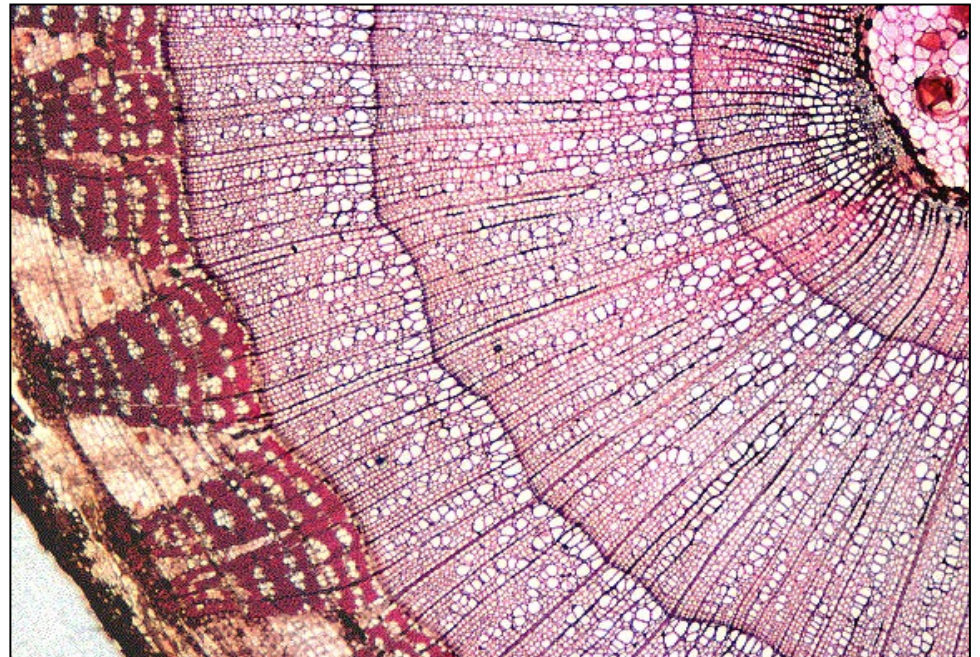
Lin (*Linum usitatissimum* L.)

Chanvre (*Cannabis sativa*)

Sources : <http://www.snv.jussieu.fr/bmedia/textiles>
<http://www.chanvre.com/7>

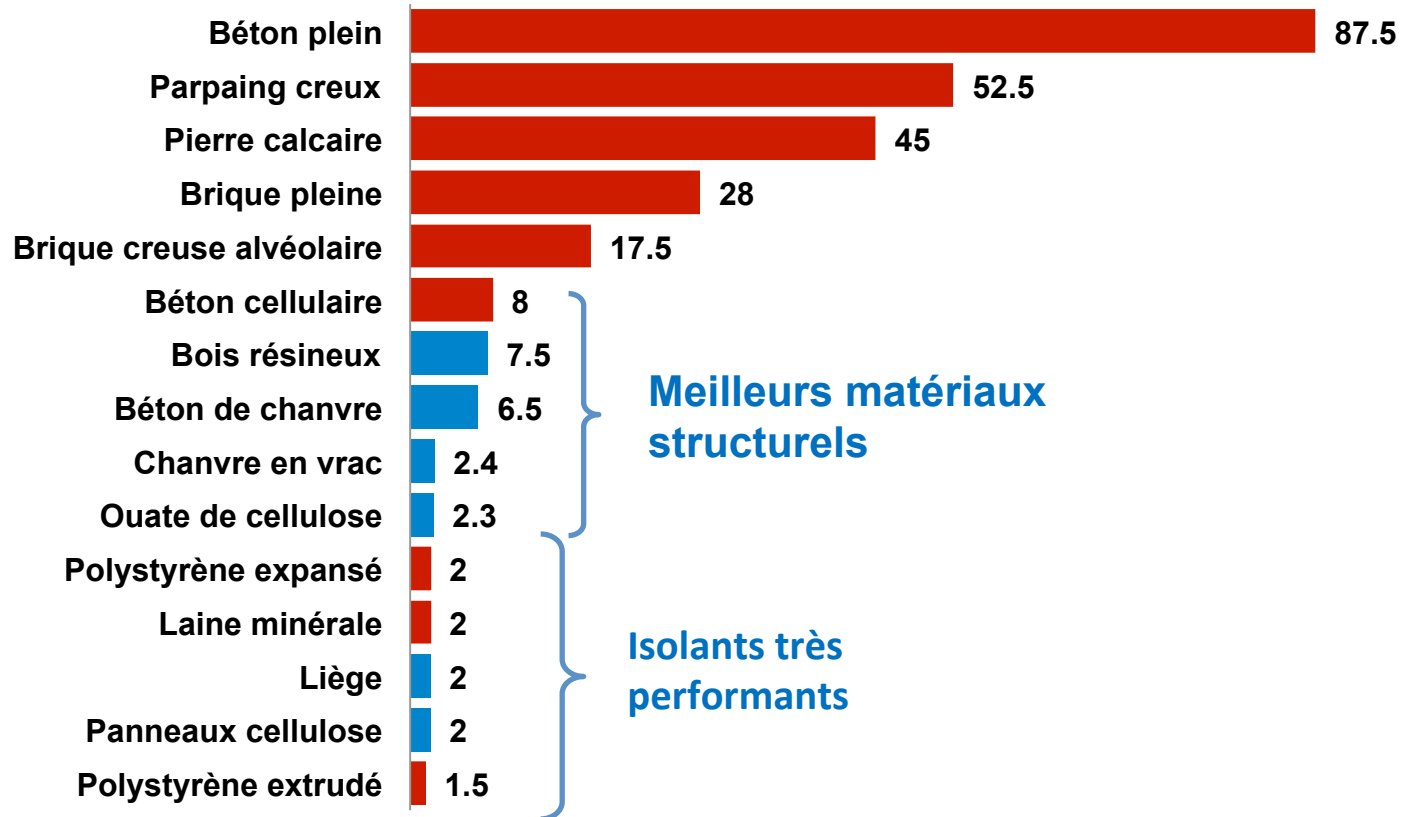
Intérêt des matériaux bio-sourcés

- Fibres végétales = matériau très élaboré
- Combinaison unique de propriétés
 - Rigide et résilient en traction et compression
 - Faible conductivité thermique (le top des matériaux structurels)
- Peu d'énergie nécessaire à la transformation
- Stockage du CO₂ fixé par photosynthèse
- De nombreux composites

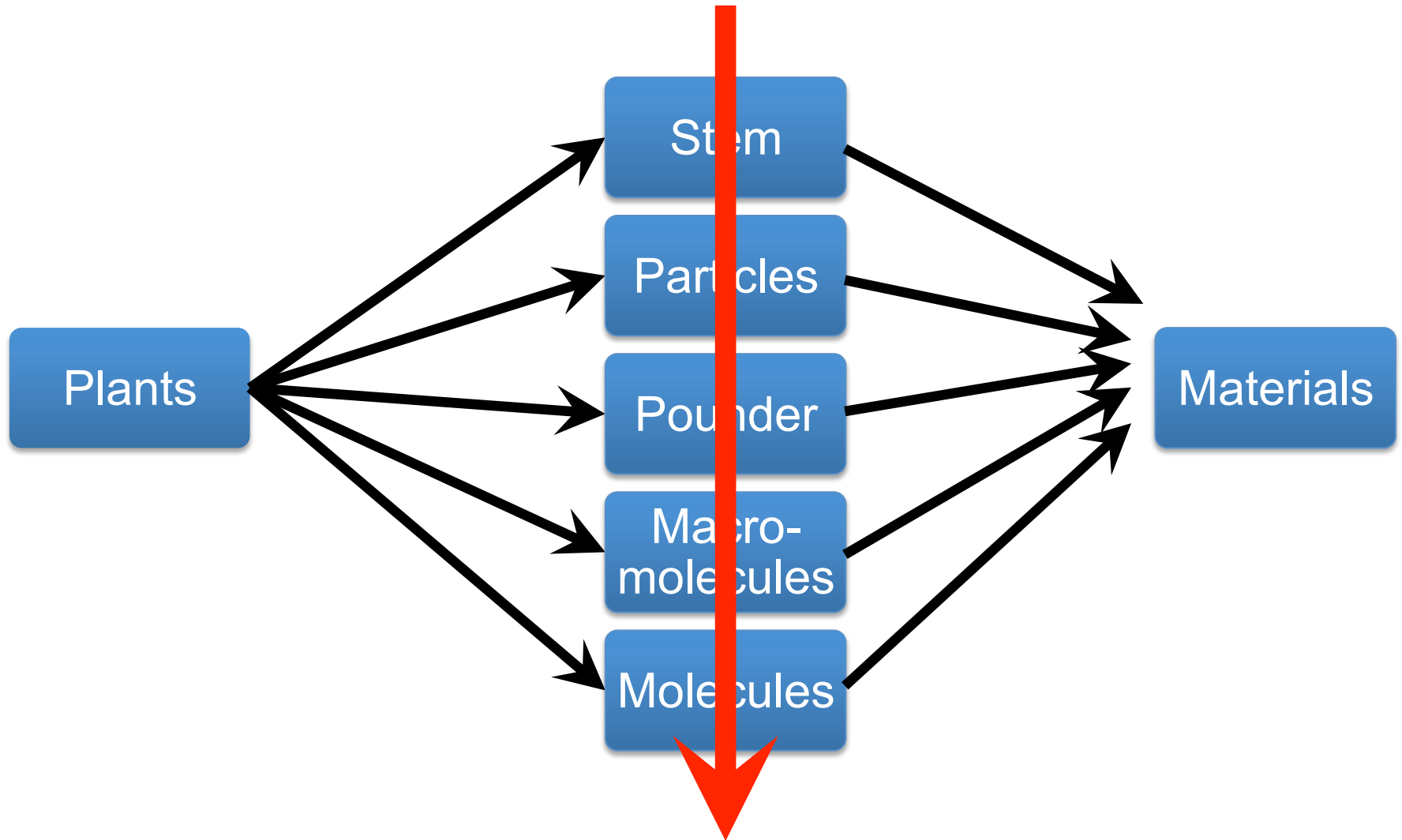


Thermal insulation

Thickness needed for an equivalent thermal insulation



Composite materials



Increasing level of fragmentation

Various possibilities of composites ...

- By increasing the level of fragmentation
 - Natural variability ↘
 - Performances ↗ or ↘
 - Cost of production ↗
 - Transformation energy ↗
 - Shape flexibility ↗
 - Standardisation ↗

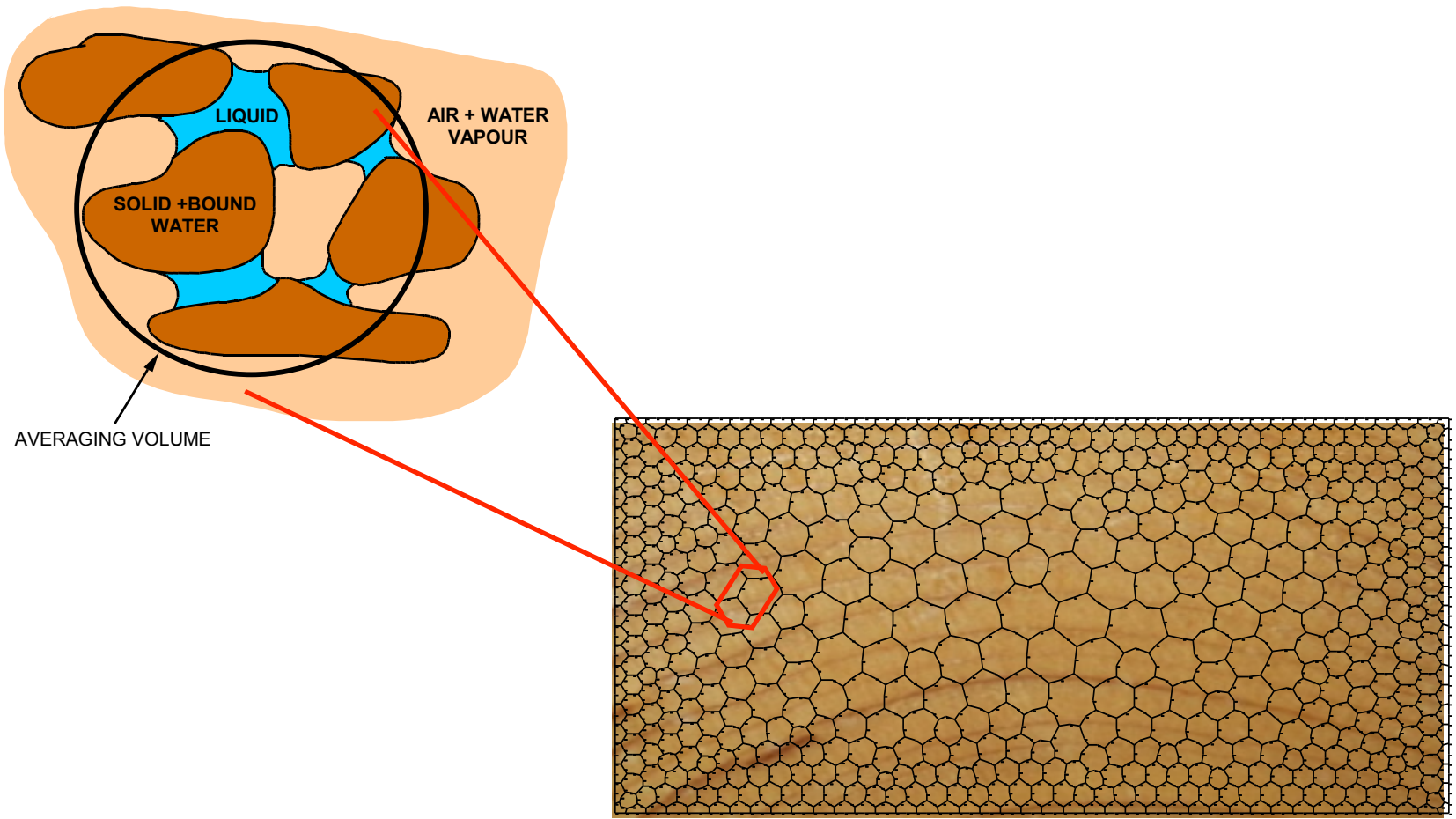
Transferts couplés chaleur/masse dans ces matériaux

Matériaux hygroscopiques

Stockage/déstockage de chaleur par changement d'état

- "Moisture buffering effect"
- Besoin de caractérisation, d'outils de prédiction des propriétés et d'outils de simulation

The macroscopic formulation



Comprehensive model

Water

$$\frac{\partial}{\partial t} (\epsilon_w \rho_w + \epsilon_g \rho_v + \bar{\rho}_b) + \nabla \cdot (\rho_w \bar{\mathbf{v}}_w + \rho_v \bar{\mathbf{v}}_g + \overline{\rho_b \mathbf{v}_b}) = \nabla \cdot (\rho_g \bar{\mathbf{D}}_{\text{eff}} \nabla \omega_v)$$

Enthalpy

$$\begin{aligned} \frac{\partial}{\partial t} (\epsilon_w \rho_w h_w + \epsilon_g (\rho_v h_v + \rho_a h_a) + \bar{\rho}_b \bar{h}_b + \rho_o h_s - \epsilon_g P_g) \\ + \nabla \cdot (\rho_w h_w \bar{\mathbf{v}}_w + (\rho_v h_v + \rho_a h_a) \bar{\mathbf{v}}_g + h_b \overline{\rho_b \mathbf{v}_b}) \\ = \nabla \cdot (\rho_g \bar{\mathbf{D}}_{\text{eff}} (h_v \nabla \omega_v + h_a \nabla \omega_a) + \bar{\lambda}_{\text{eff}} \nabla T) + \Phi \end{aligned}$$

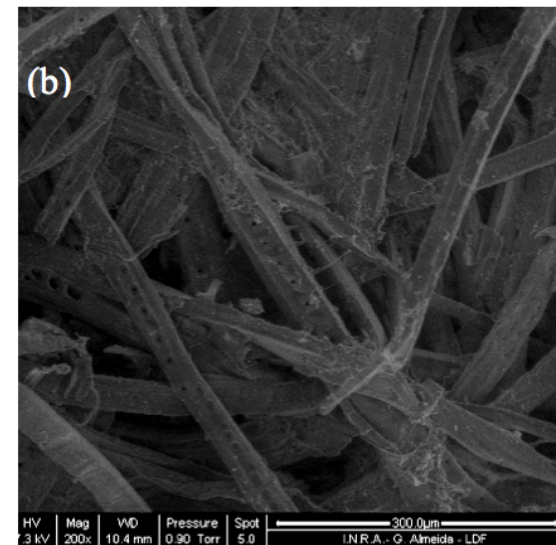
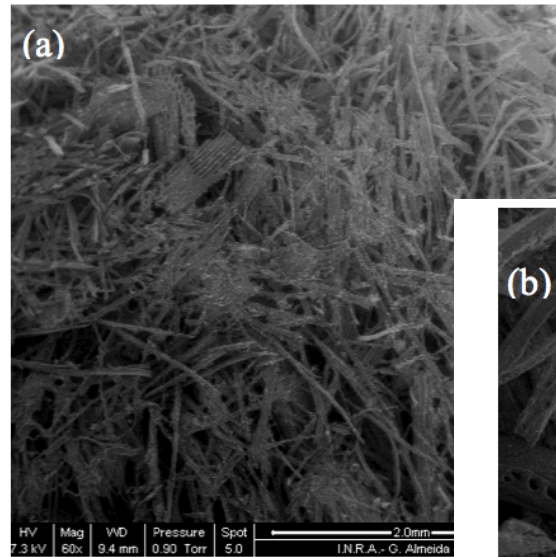
Air

$$\frac{\partial}{\partial t} (\epsilon_g \rho_a) + \nabla \cdot (\rho_a \bar{\mathbf{v}}_g) = \nabla \cdot (\rho_g \bar{\mathbf{D}}_{\text{eff}} \nabla \omega_a)$$

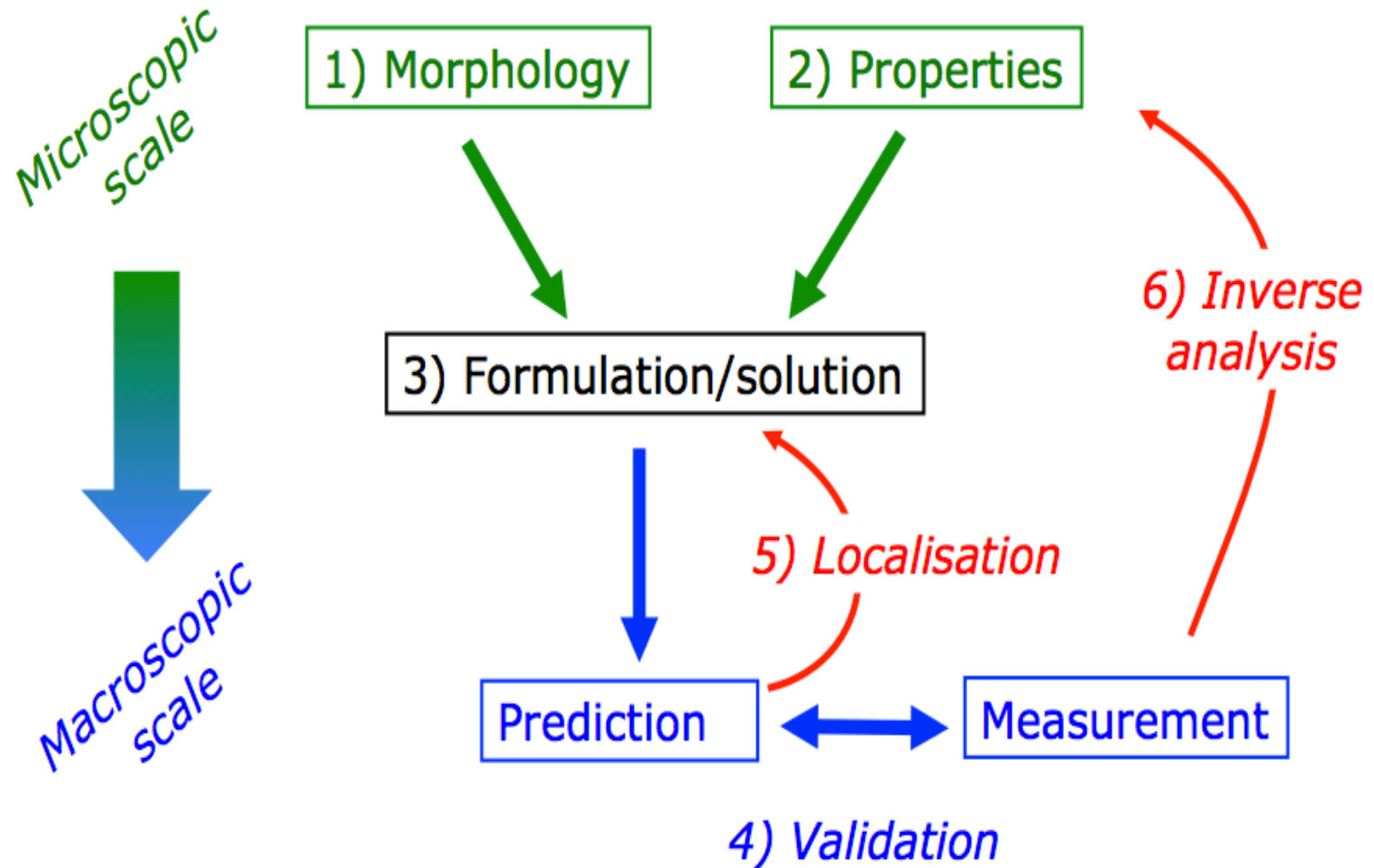
**Generalised
Darcy's law**

$$\bar{\mathbf{v}}_\ell = -\frac{\bar{\mathbf{K}}_\ell \bar{\mathbf{k}}_\ell}{\mu_\ell} \nabla \varphi_\ell, \quad \nabla \varphi_\ell = \nabla P_\ell - \rho_\ell g \nabla \chi \quad \text{where } \ell = w, g$$

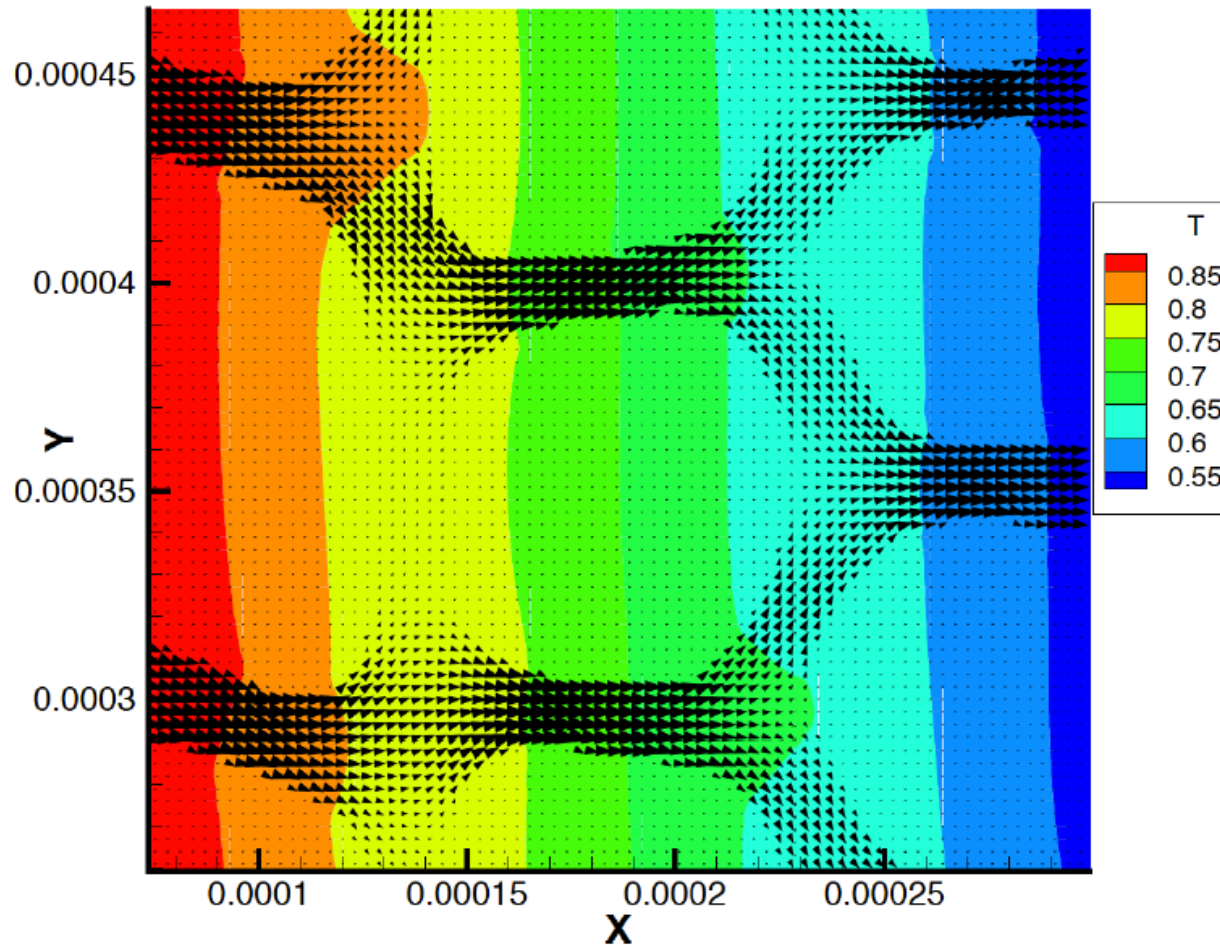
Parois composites



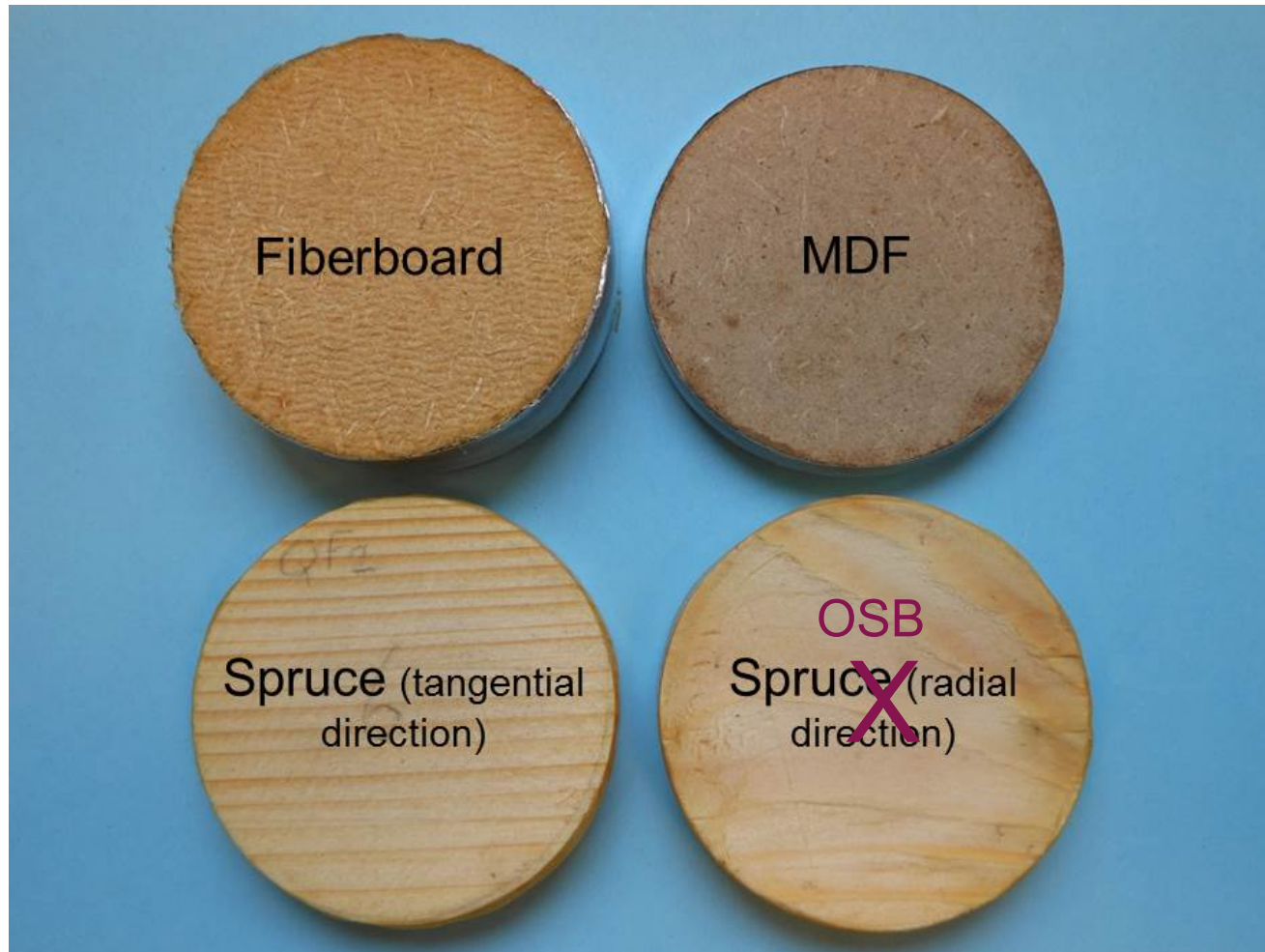
Up-scaling



Prédiction par changement d'échelle : exemple de modélisation des transferts par Lattice Boltzmann



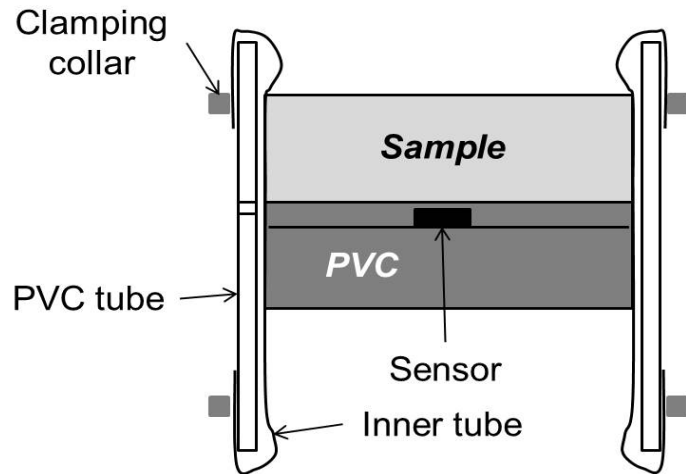
Caractérisation expérimentale



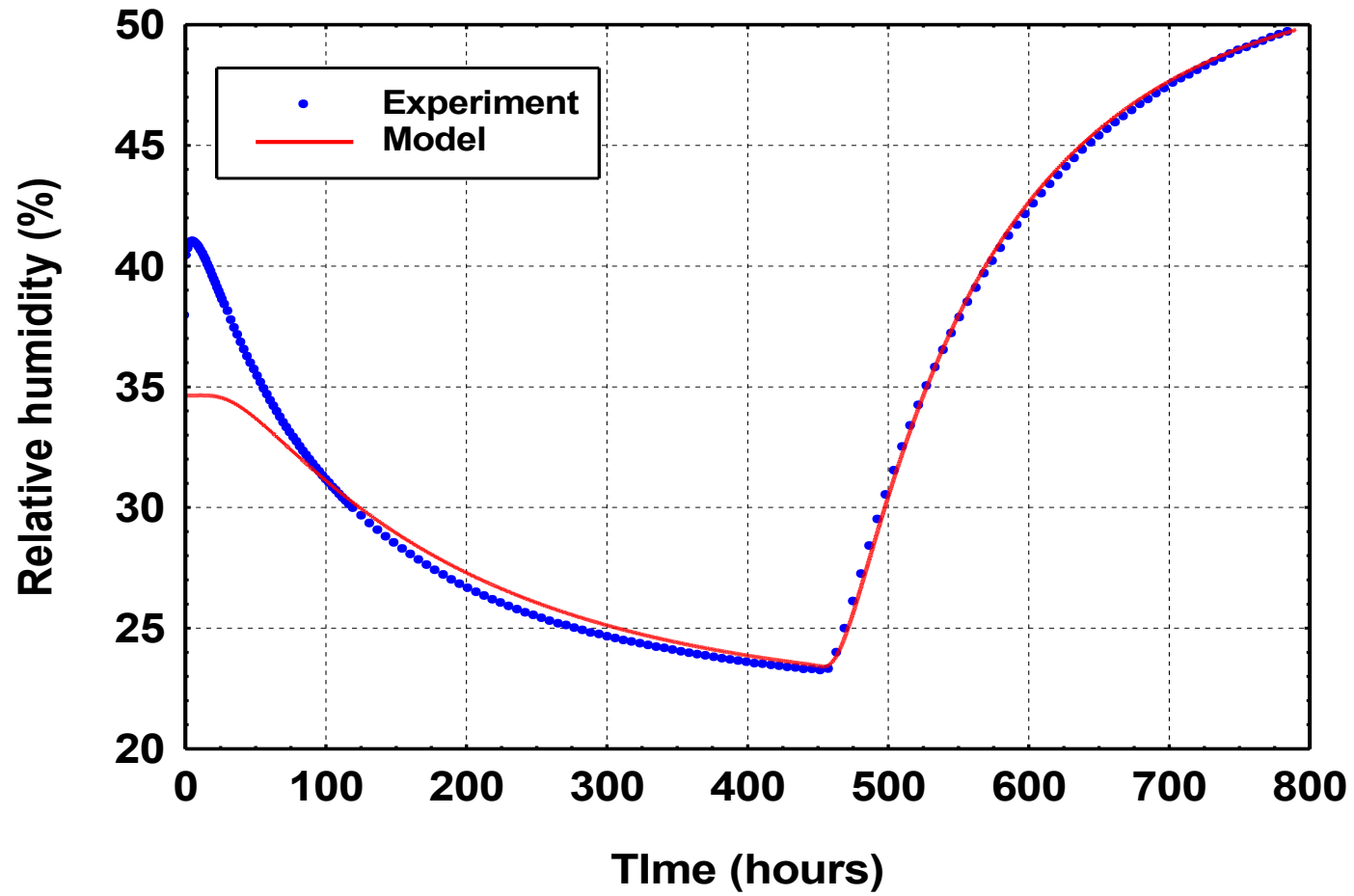
Principes de mesure = suivi de l'effet d'une perturbation extérieure

- Régime permanent (coupelle) : on impose un saut de HR et on mesure le flux qui en résulte en régime permanent,
- Régime transitoire : on soumet l'échantillon à une variation brusque de HR et on mesure l'évolution de sa masse,
- Sollicitations moins maîtrisées → méthodes inverses

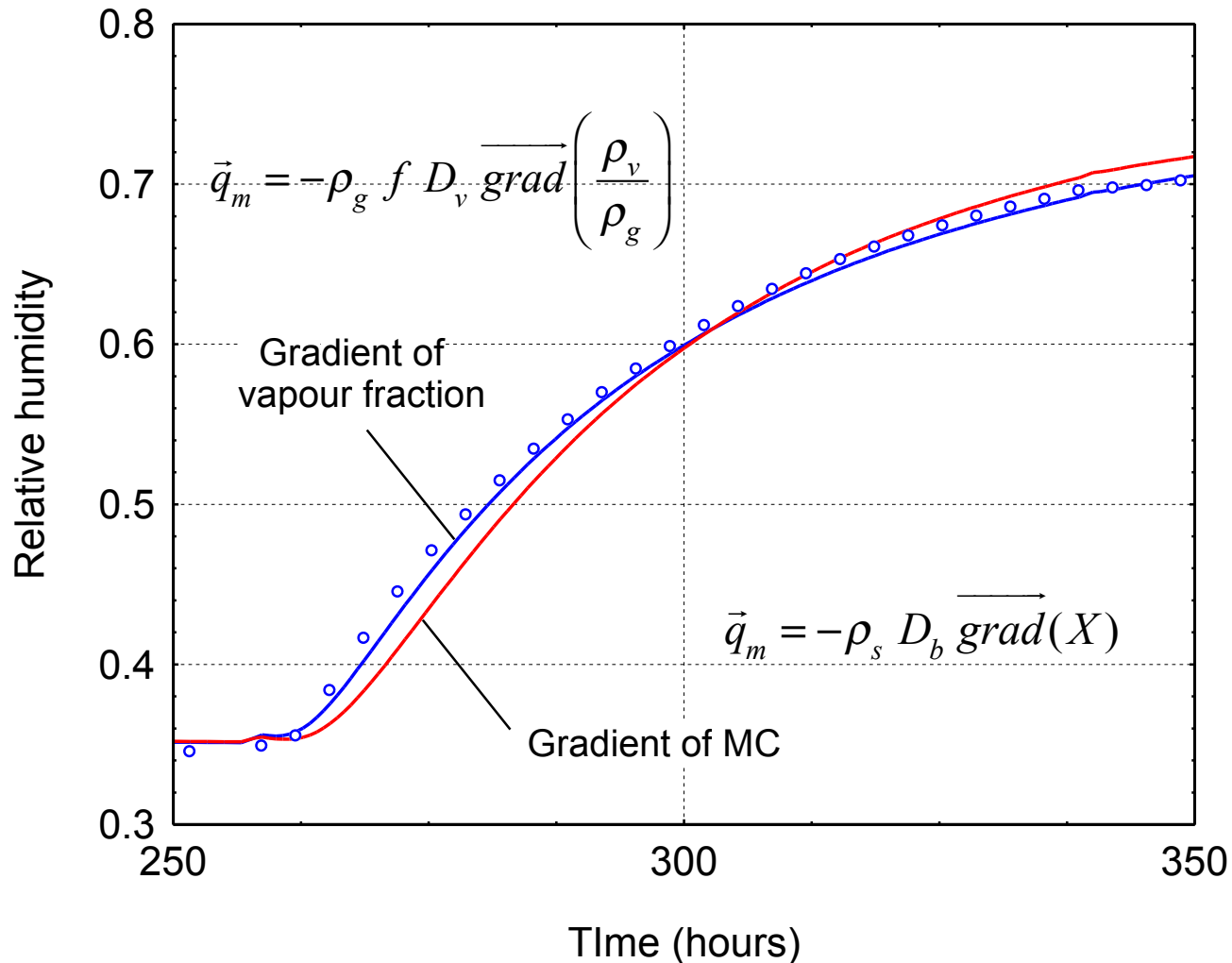
Mesure de HR en face arrière



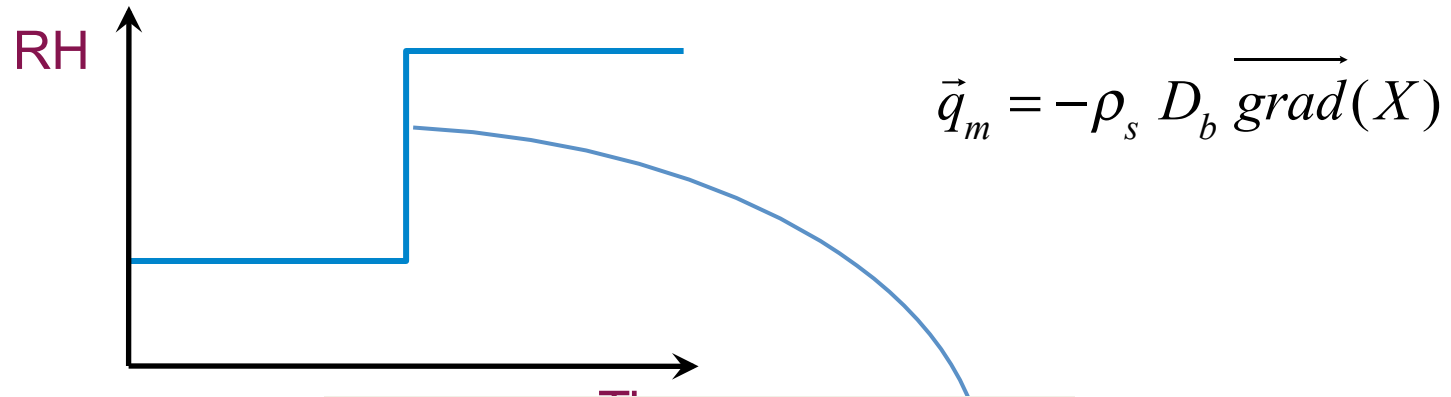
Perré et al., Drying Technology, in press



Choice of the driving force for diffusion (Spruce Radial direction)



Mass transfer only



$$\vec{q}_m = -\rho_s D_b \overrightarrow{\text{grad}}(X)$$

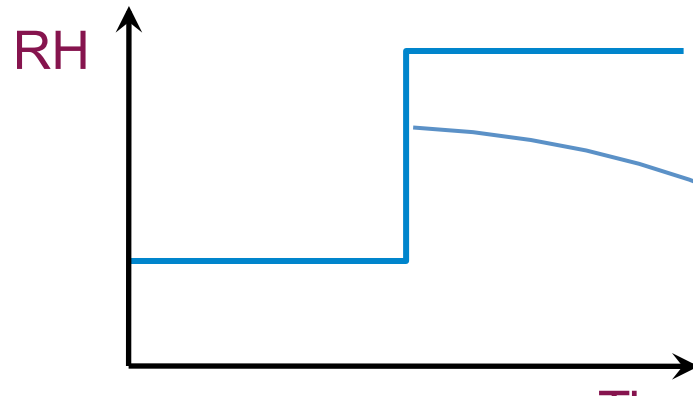
**Time constant
controlled by mass
diffusion**

ation

diffusion



H & M transfer coupling



$$\vec{q}_m = -\rho_g f D_v \overrightarrow{\text{grad}} \left(\frac{\rho_v}{\rho_g} \right)$$

$$P_v = a(X, T) P_{vs}(T)$$

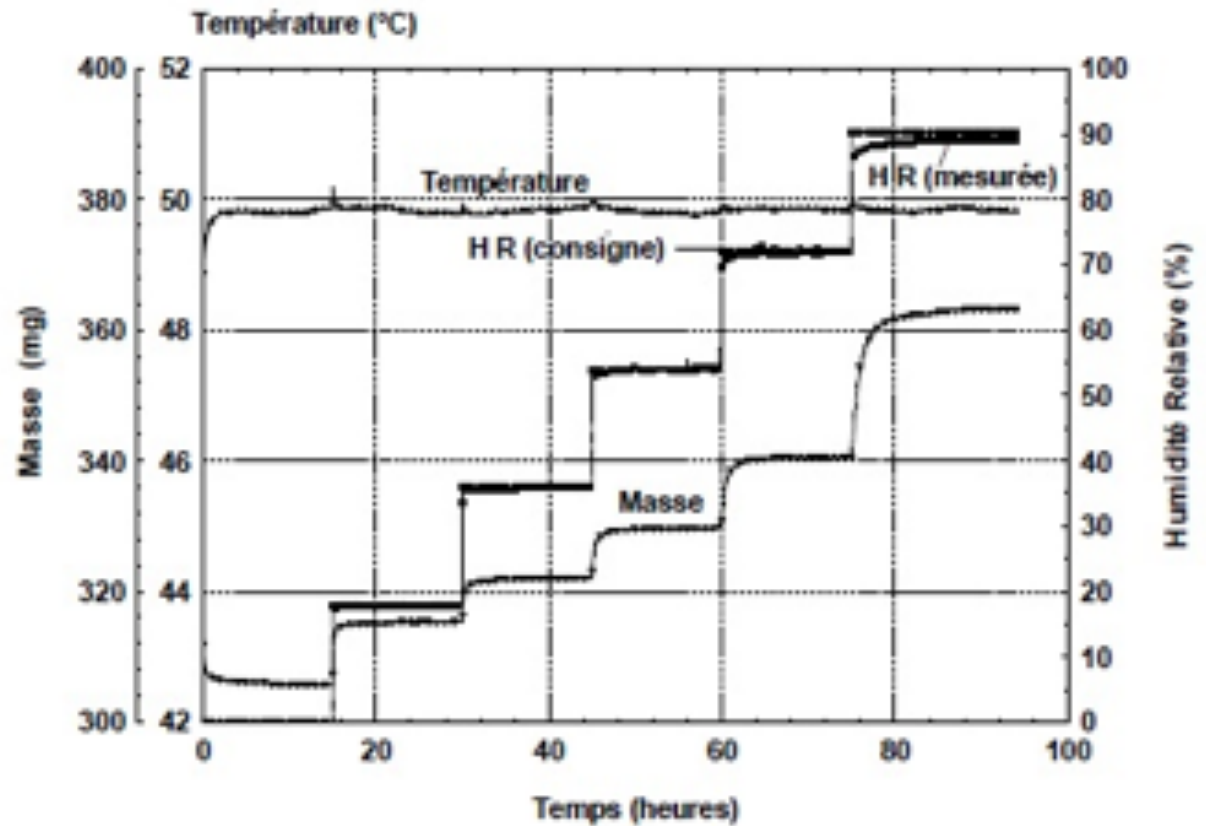
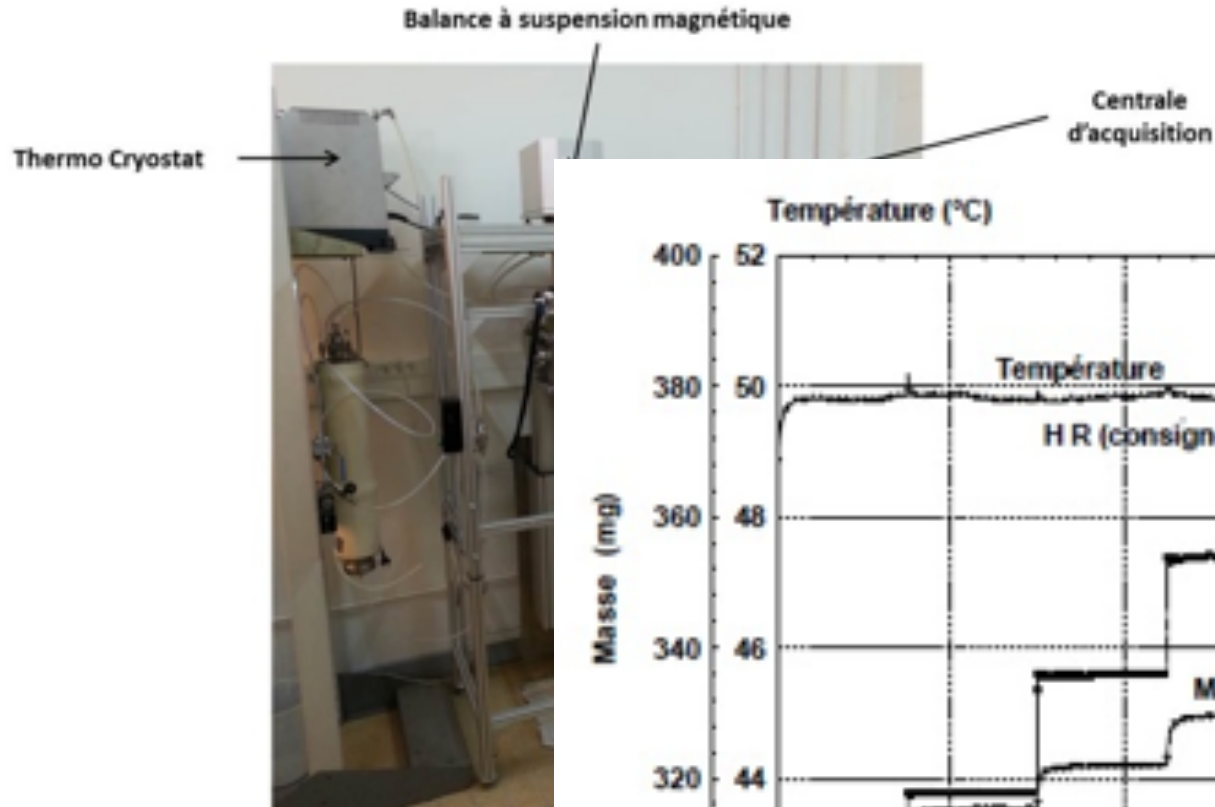
**Time constant
controlled by thermal
diffusion**



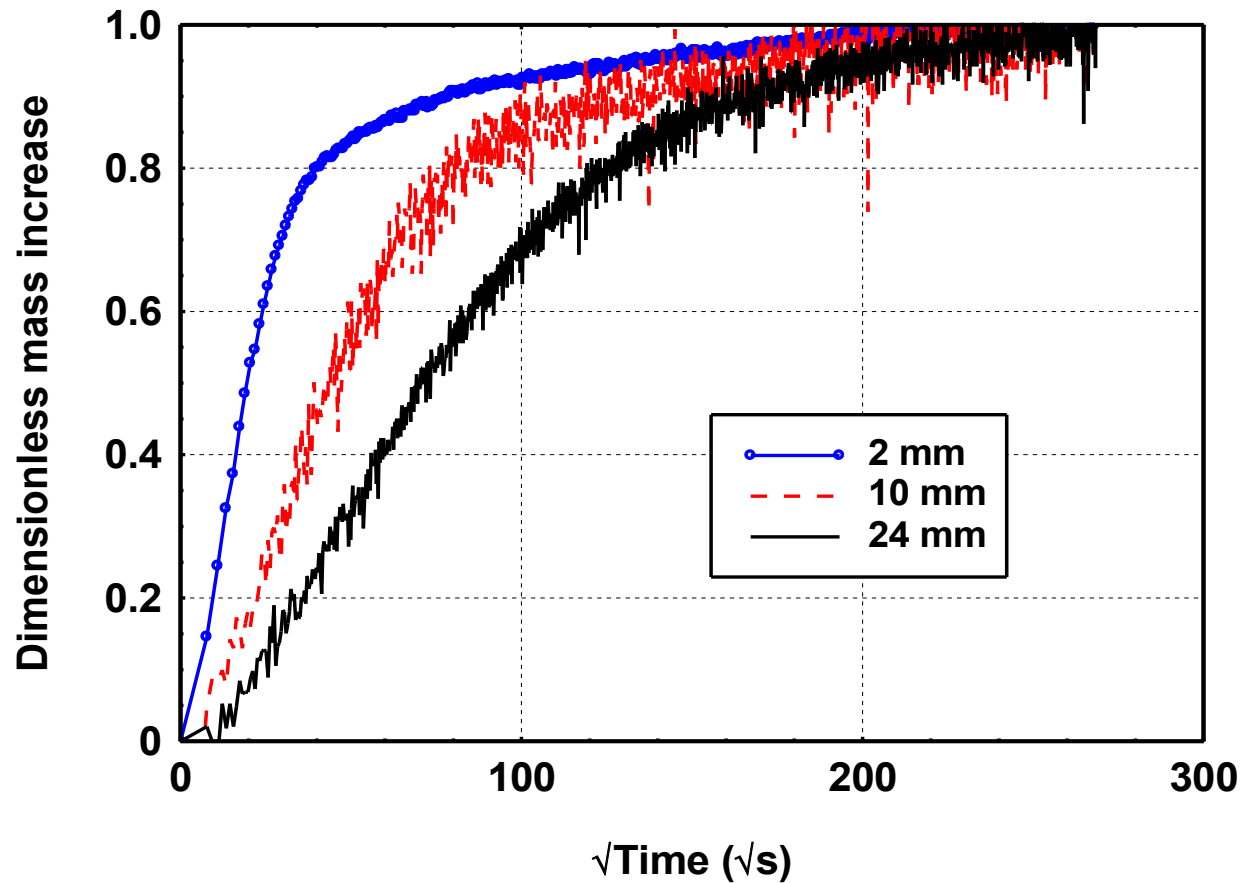
Some results

<i>Sample</i>		<i>f</i>
Spruce	Radial 1	0.0142
	Radial 2	0.0123
	Tangential 1	0.0182
	Tangential 2	0.0187
MDF 1		0.297
MDF 2		0.238
LDF		1.45

Experimental device

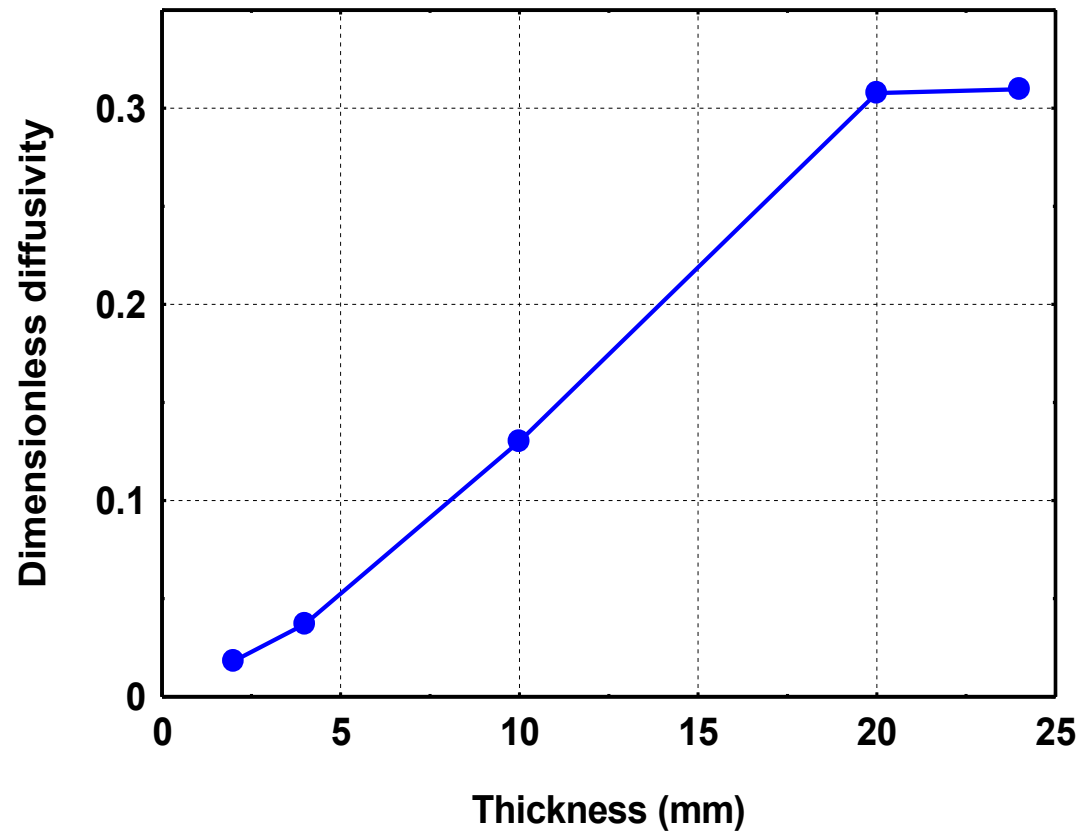


Experimental results : effect of thickness



Coefficient de diffusion

$$\frac{\Delta m(t)}{|\Delta m|_{total}} = \frac{4}{e} \cdot \sqrt{\frac{D}{\pi}} \cdot \sqrt{t}$$

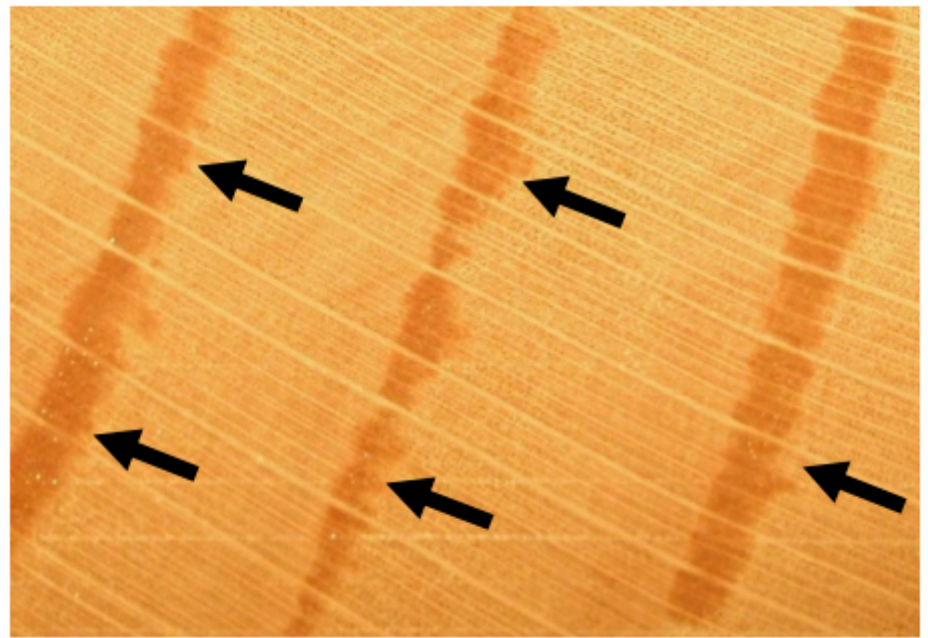
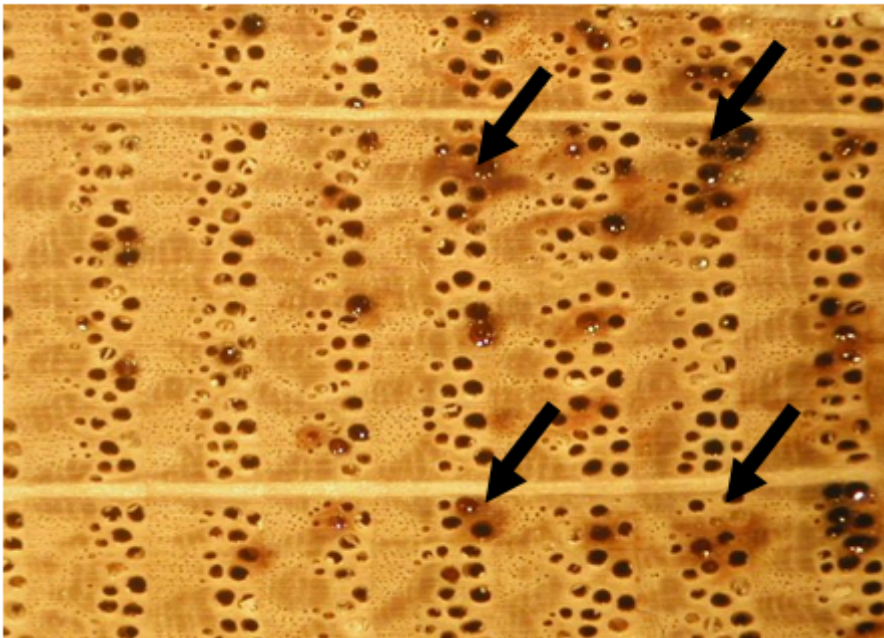


Almeida, Rémond, Perré, Proc. Int. Drying Symposium, 2010

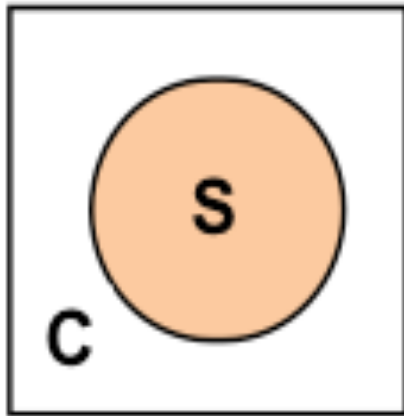
Le comportement macroscopique non-fickien est expliqué par un effet de double échelle

- Une constante de temps dépend de la diffusion "rapide" dans la phase conductrice et connexe (macroscopique)
- Une autre constante de temps est liée à la diffusion "lente" dans la phase de stockage (microscopique)
- Selon la configuration (épaisseur, densité, conditions aux limites), l'une de ces constantes de temps contrôle la réponse macroscopique ou les deux phénomènes interagissent

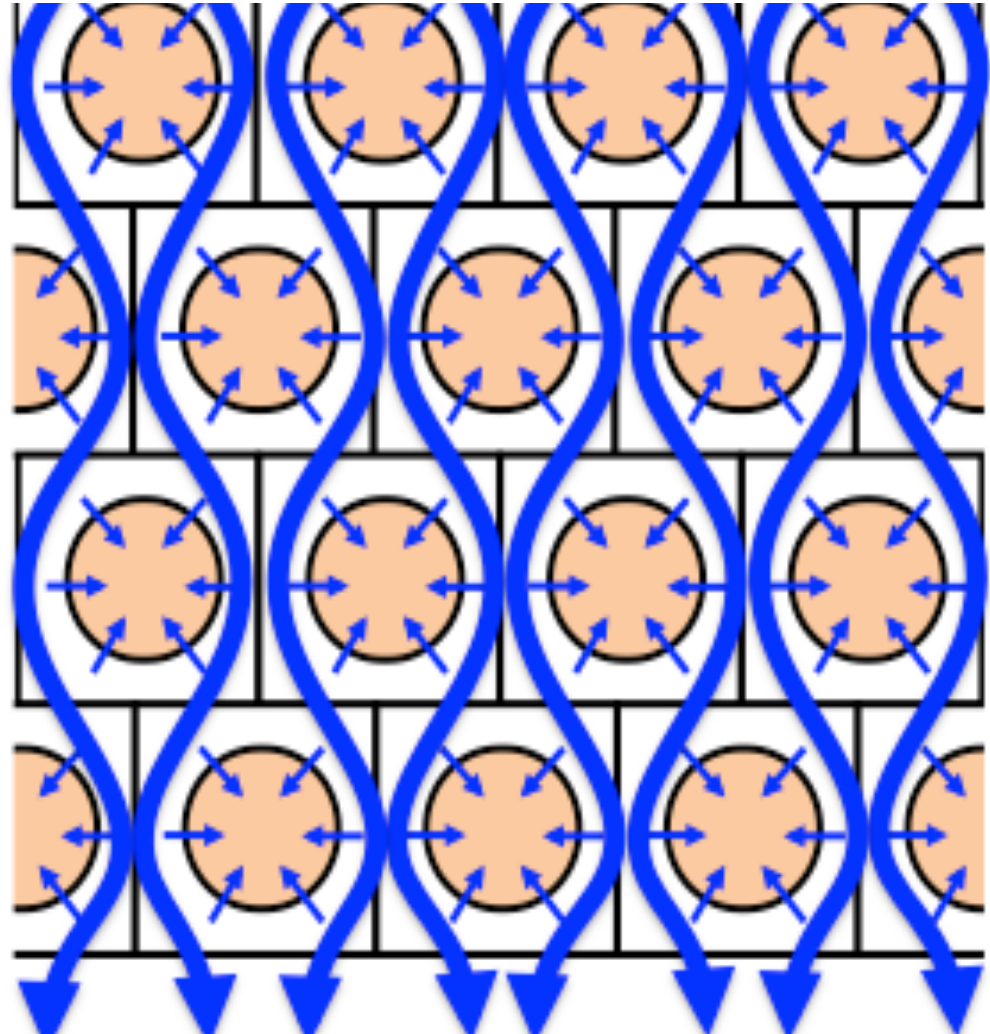
Un exemple visuel : imbibition de liquide dans le bois (L)



Dual scale effects



S : storage phase
C : conductive phase



Micro-modèles distribués (Schowalter, 1993) et au-delà...

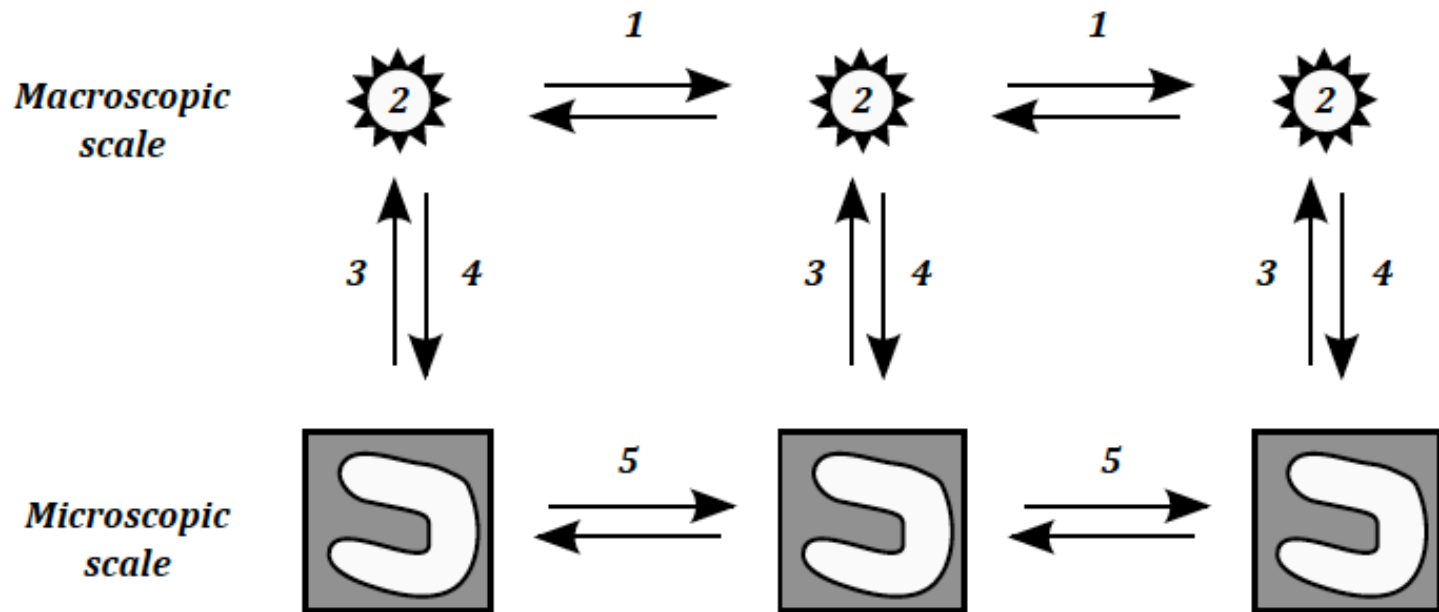


Figure 1.1: Possible interactions within and between the macroscopic and microscopic scales for the balance equations.

Formulation

Microscopic scale

Moisture conservation

$$\begin{aligned} \frac{\partial}{\partial t} (\varepsilon_w^S \rho_w^S + \varepsilon_g^S \rho_v^S + \bar{\rho}_b^S) + \nabla_y \cdot (\rho_w^S \bar{\mathbf{v}}_w^S + \rho_v^S \bar{\mathbf{v}}_g^S + \overline{\rho_b \mathbf{v}_b}^S) \\ = \nabla_y \cdot \left(\rho_g^S \overline{\mathbf{D}}_{eff}^S \nabla_y \omega_v^S \right) \quad y \in S_x, \quad x \in \Omega \end{aligned} \quad (1)$$

Energy conservation

$$\begin{aligned} \frac{\partial}{\partial t} (\varepsilon_w^S \rho_w^S h_w^S + \varepsilon_g^S (\rho_v^S h_v^S + \rho_a^S h_a^S) + \bar{\rho}_b^S \bar{h}_b^S + \varepsilon_s^S \rho_s^S h_s^S - \varepsilon_g^S P_g^S) \\ + \nabla_y \cdot (\rho_w^S h_w^S \bar{\mathbf{v}}_w^S + (\rho_v^S h_v^S + \rho_a^S h_a^S) \bar{\mathbf{v}}_g^S + h_b^S \overline{\rho_b \mathbf{v}_b}^S) \\ = \nabla_y \cdot \left(\rho_g^S \overline{\mathbf{D}}_{eff}^S (h_v^S \nabla_y \omega_v^S + h_a^S \nabla_y \omega_a^S) + \overline{\lambda}_{eff}^S \nabla_y T^S \right) \quad y \in S_x, \quad x \in \Omega \end{aligned} \quad (2)$$

Perré P., Drying Technology, 2010

Formulation

Macroscopic scale

Moisture conservation

$$\frac{\partial}{\partial t} (\varepsilon_g^C \rho_v^C) + \nabla_x \cdot (\rho_v^C \bar{\mathbf{v}}_g^C) = \nabla_x \cdot \left(\rho_g^C \bar{\bar{\mathbf{D}}}_{eff}^C \nabla_x \omega_v^C \right) + Q_v(t, x) \quad x \in \Omega \quad (4)$$

Energy conservation

$$\begin{aligned} \frac{\partial}{\partial t} (\varepsilon_g^C (\rho_v^C h_v^C + \rho_a^C h_a^C)) + \nabla_x \cdot ((\rho_v^C h_v^C + \rho_a^C h_a^C) \bar{\mathbf{v}}_g^C) \\ = \nabla_x \cdot \left(\rho_g^C \bar{\bar{\mathbf{D}}}_{eff}^C (h_v^C \nabla_x \omega_v^C + h_a^C \nabla_x \omega_a^C) + \bar{\bar{\lambda}}_{eff}^C \nabla_x T^C \right) + Q_h(t, x) \quad x \in \Omega \end{aligned} \quad (5)$$

Formulation

Coupling between scales

Moisture conservation

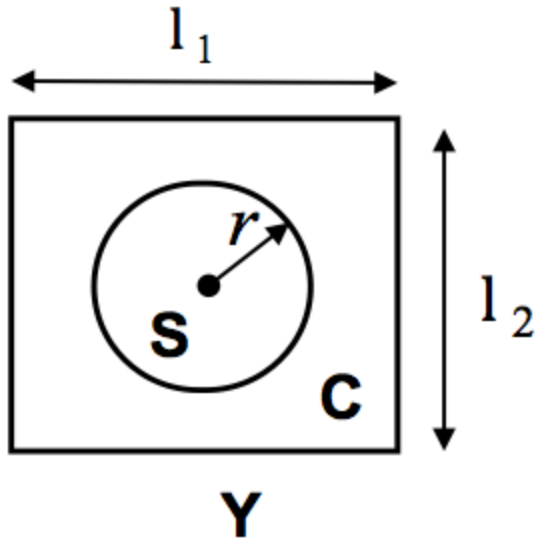
$$\begin{aligned}\bar{\lambda}_{eff}^S \nabla_y T^S \cdot \vec{n} &= h_h^S [T^S(t, x, y) - T^C(t, x)] \quad y \in \partial S_x, x \in \Omega \\ Q_h(t, x) &= \frac{1}{|Y|} \int_{\Gamma} \bar{\lambda}_{eff}^S \nabla_y T^S \cdot \vec{n} dS \quad x \in \Omega\end{aligned} \quad (7)$$

Energy conservation

$$\begin{aligned}\rho_g^S \bar{D}_{eff}^S \nabla_y \omega_v^S \cdot \vec{n} &= h_m^S \rho_g^S (\omega_v^S(t, x, y) - \omega_v^C(t, x)) \quad y \in \partial S_x, x \in \Omega \\ Q_v(t, x) &= \frac{1}{|Y|} \int_{\Gamma} \rho_g^S \bar{D}_{eff}^S \nabla_y \omega_v^S \cdot \vec{n} dS \quad x \in \Omega\end{aligned} \quad (8)$$

Application à la diffusion dans un milieu fibreux

Choix du VER



$$\phi_{mac} = \frac{\pi r^2}{l_1 \times l_2}$$

Particle volume	$\pi r^2 L_0$
Exchange surface	$2\pi r L_0$
Volume of the unit cell	$\frac{\pi r^2 L_0}{1 - \phi_{mac}}$
Geometrical factor $A_S / Y (\text{m}^2/\text{m}^3)$	$\frac{2(1 - \phi_{mac})}{r}$

Paramètres physiques

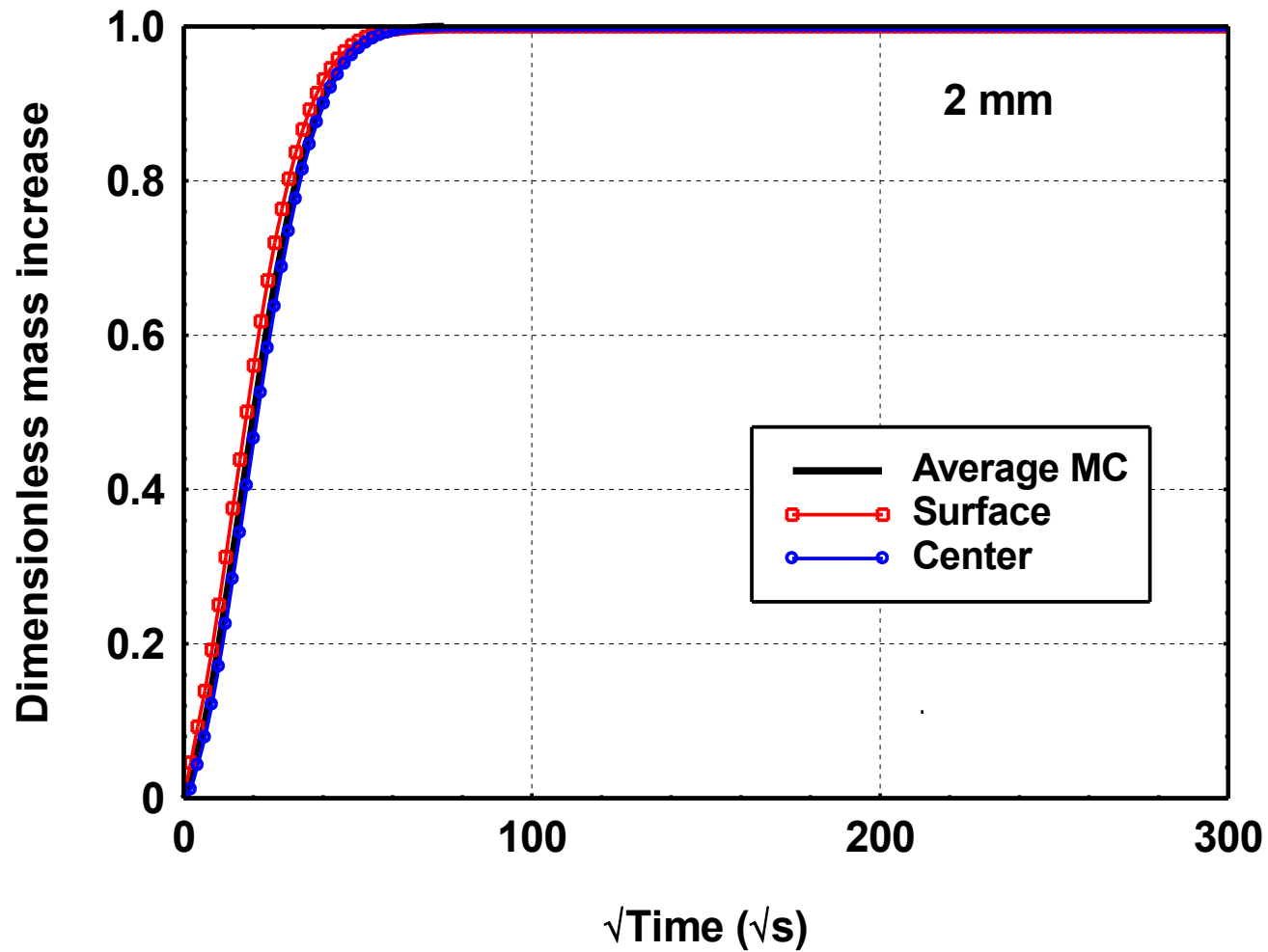
Radius of the microscopic particle	$r = 20\mu m$
Density of the microscopic particle	$1200 kg.m^{-3}$
Macroscopic porosity	0.78
Geometrical factor $A_c / Y $ (m^2/m^3)	22 000
Macroscopic diffusivity \overline{D}_{eff}^C	$0.28 \times D_v$
Macroscopic conductivity $\overline{\lambda}_{eff}^C$	$0.05 W.^{\circ}C^{-1}.m^{-1}$
Macroscopic heat transfer coefficient h_h^C	$25 W.^{\circ}C^{-1}.m^{-2}$
Macroscopic heat transfer coefficient h_m^C	$0.025 m.s^{-1}$

Cohérence modèle/expérience

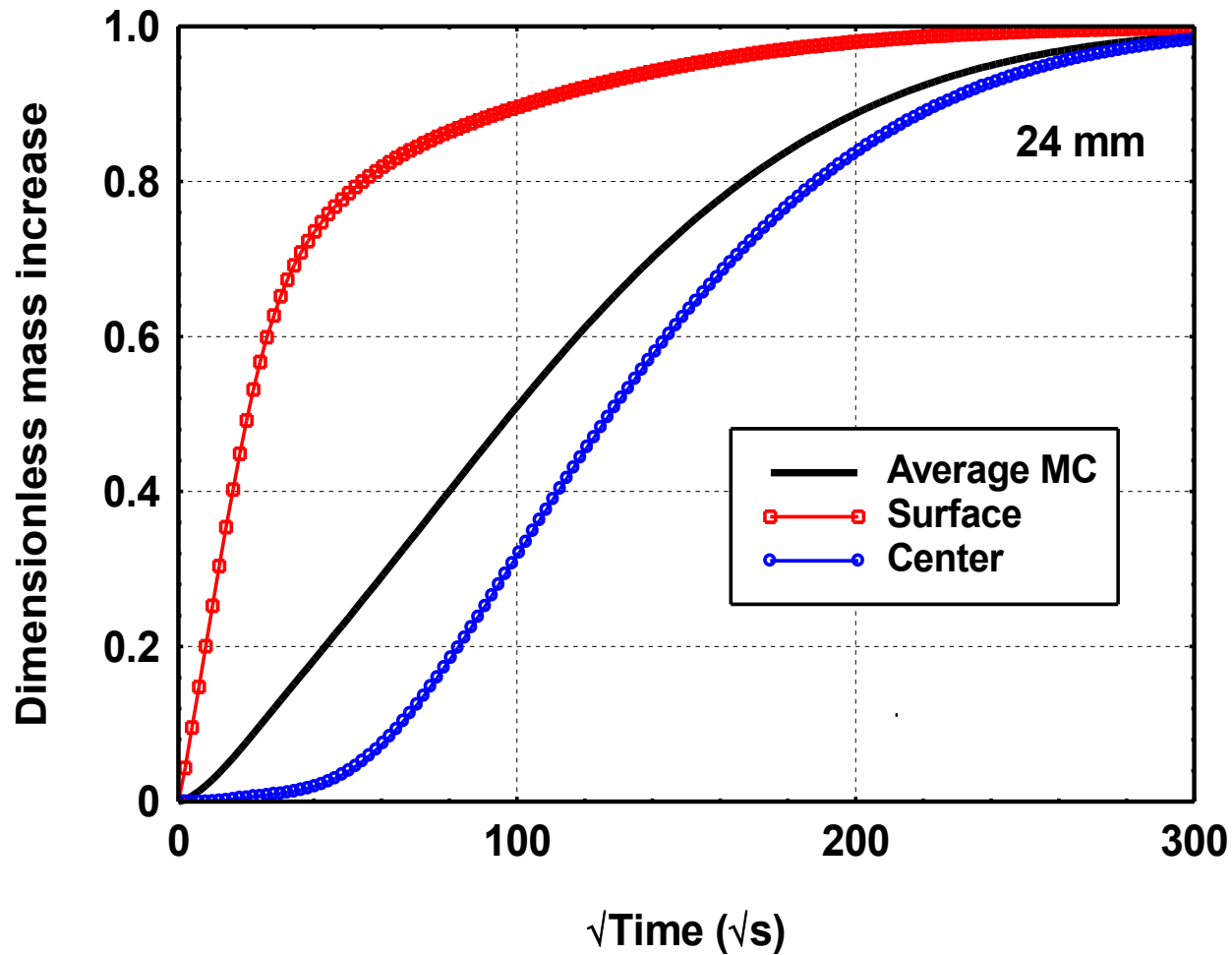
Fibre diffusivity (m ² .s ⁻¹)	Thickness		
	2 mm	10 mm	24 mm
10 ⁻¹³	23.6	50.4	98.9
2.10⁻¹³	20.2	48.5	98.2
5.10 ⁻¹³	17.4	47.0	97.6
10 ⁻¹²	16.2	46.6	97.2
Experimental	20	45	74

Almeida, Rémond, Perré, Proc. Int. Drying Symposium, 2010

Dual scale effects

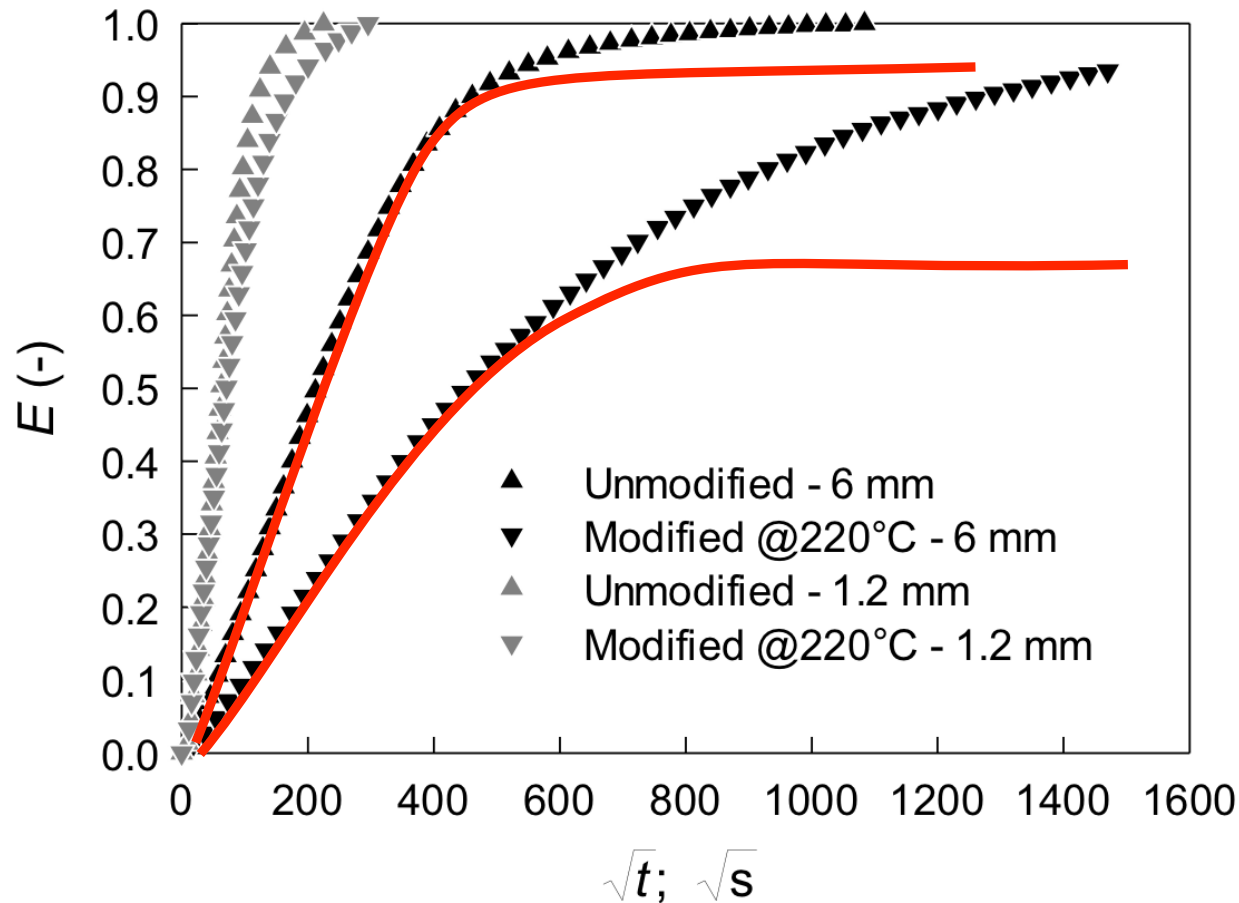


Dual scale effects



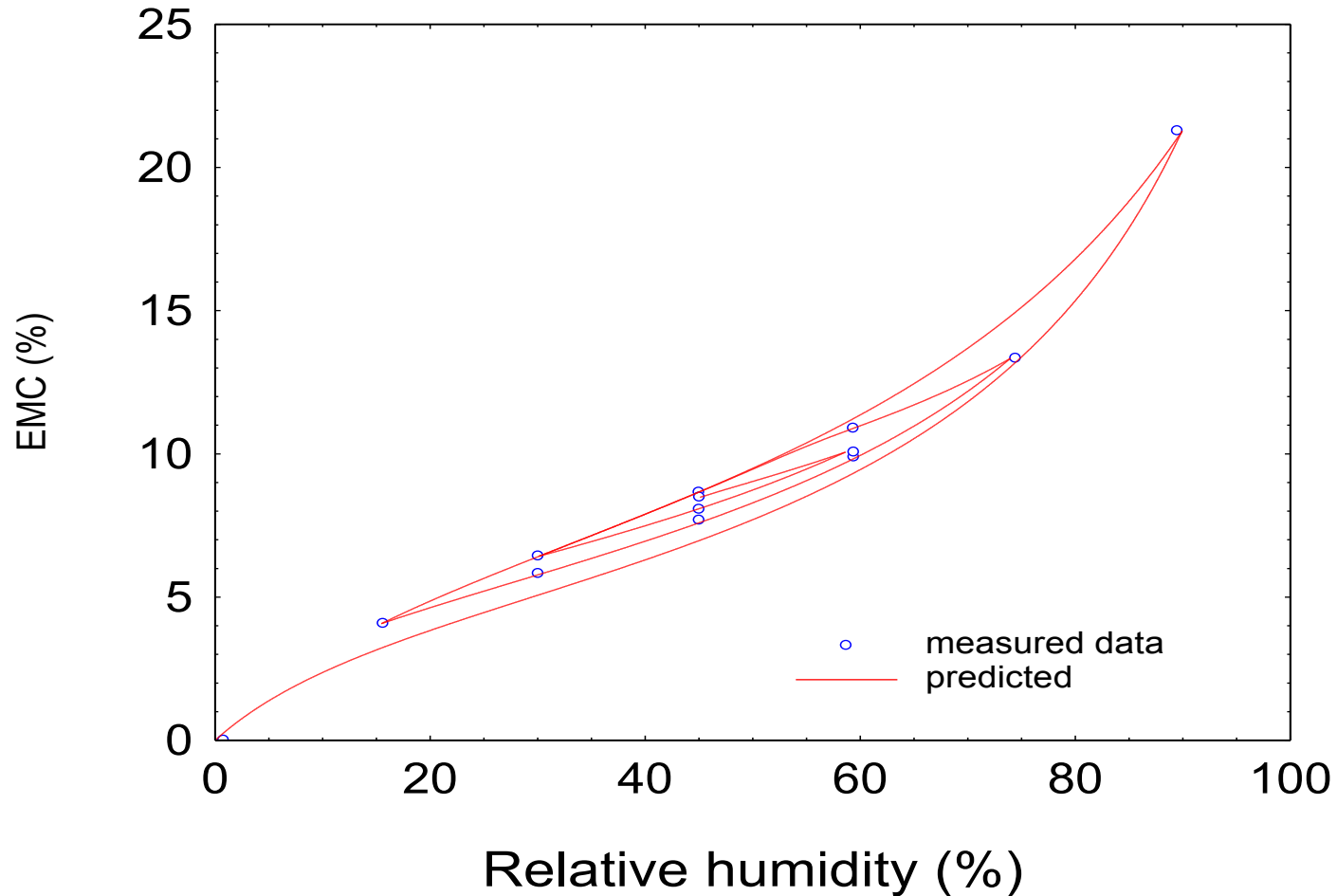
Autres phénomènes responsables du non-équilibre local

Evidence of non-Fickian behavior in thermally modified wood.



Olek et al., submitted

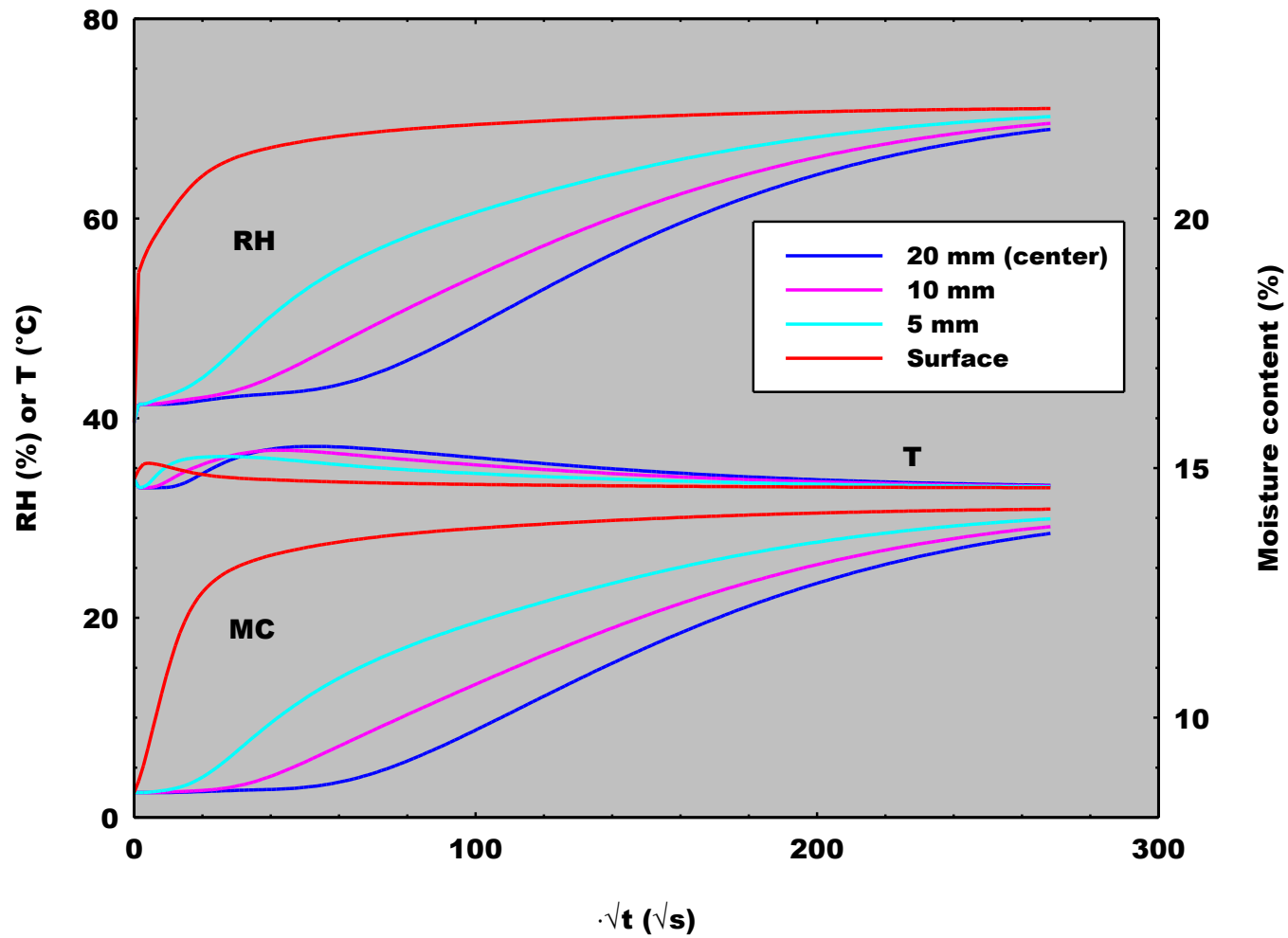
Hystérésis de sorption : mesures et modélisation



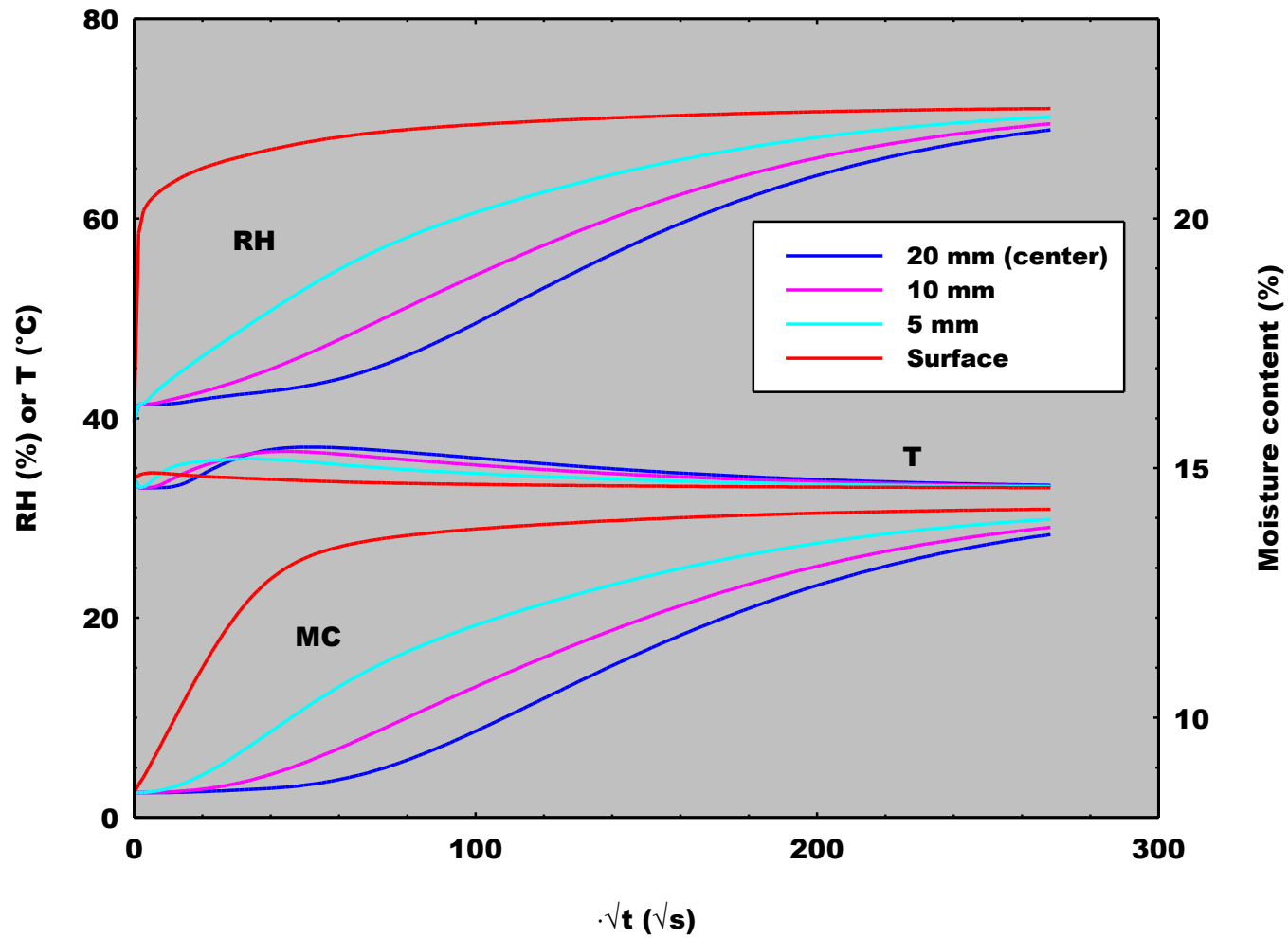
Simulations : effects of dual-scale and relaxation

- LDF panel (20 mm thick)
- Sudden change in RH
- 3 case studies:
 - Test 1 : $D_{\text{fibres}} = 10^{-12} \text{ m}^2/\text{s}$
 - Test 2 : $D_{\text{fibres}} = 10^{-13} \text{ m}^2/\text{s}$
 - Test 3 : $D_{\text{fibres}} = 10^{-13} \text{ m}^2/\text{s}$ and relaxation
($\alpha=15\%$ and $\tau=0.3 \cdot 10^5 \text{ s}$)

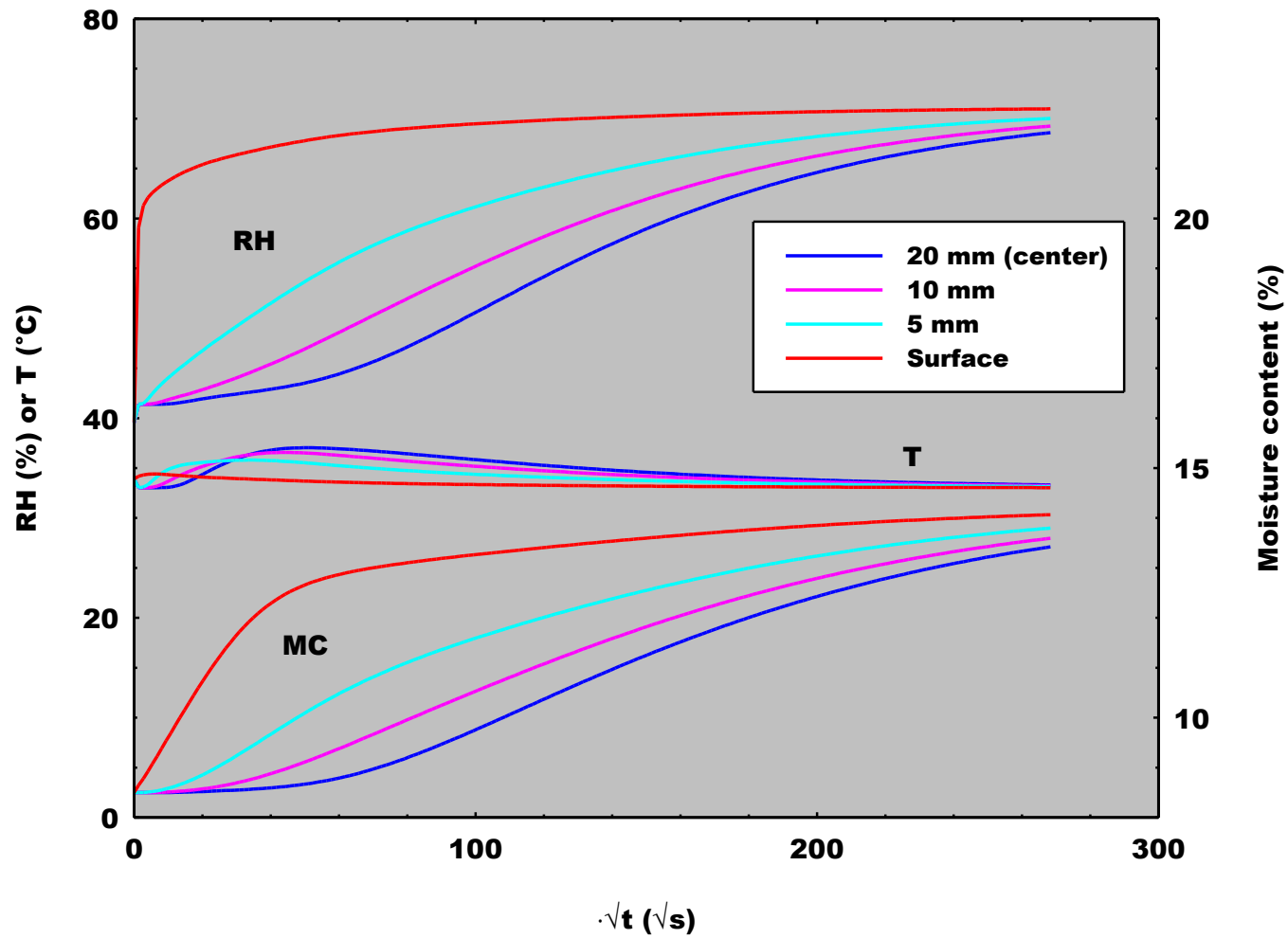
Test 1



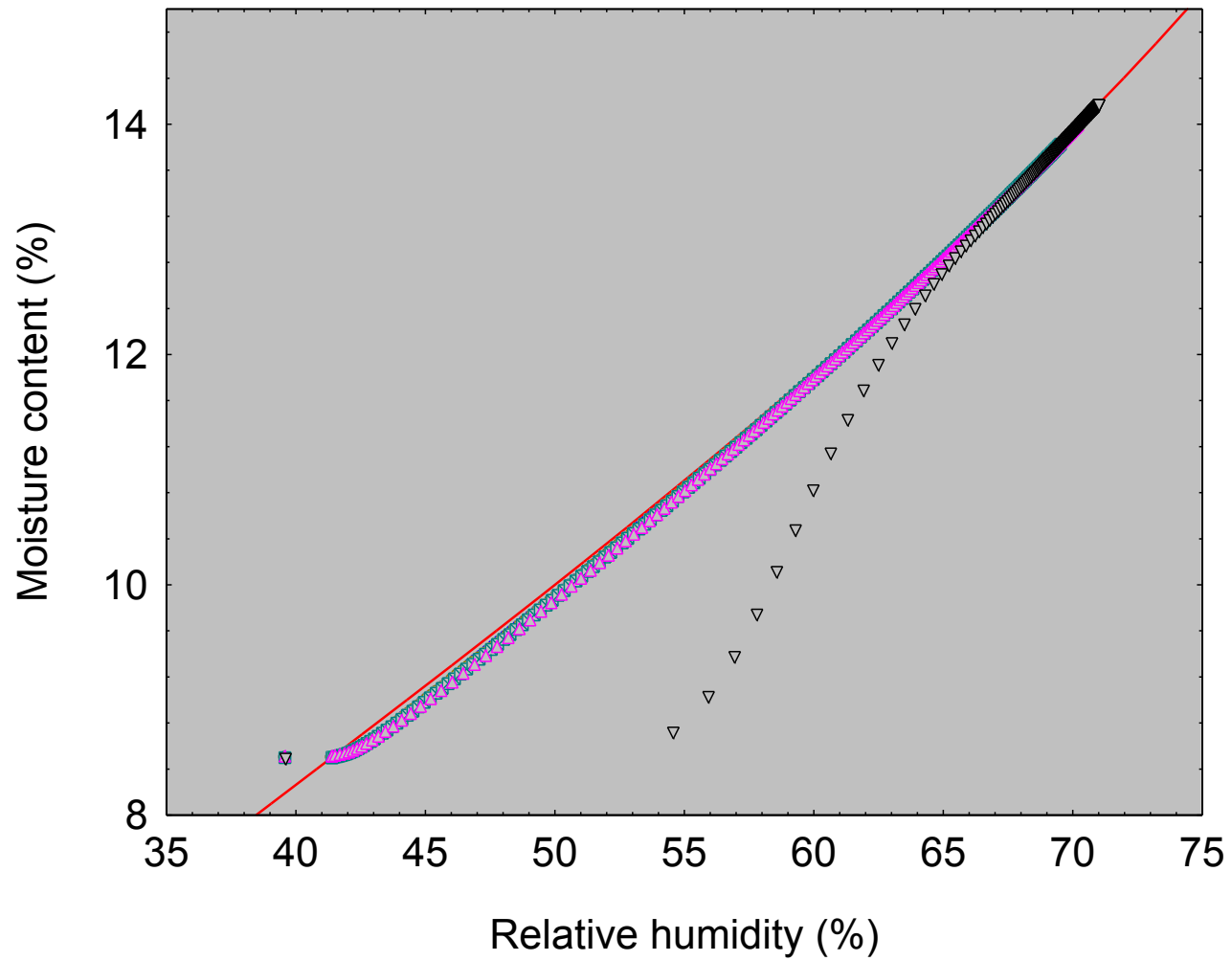
Test 2



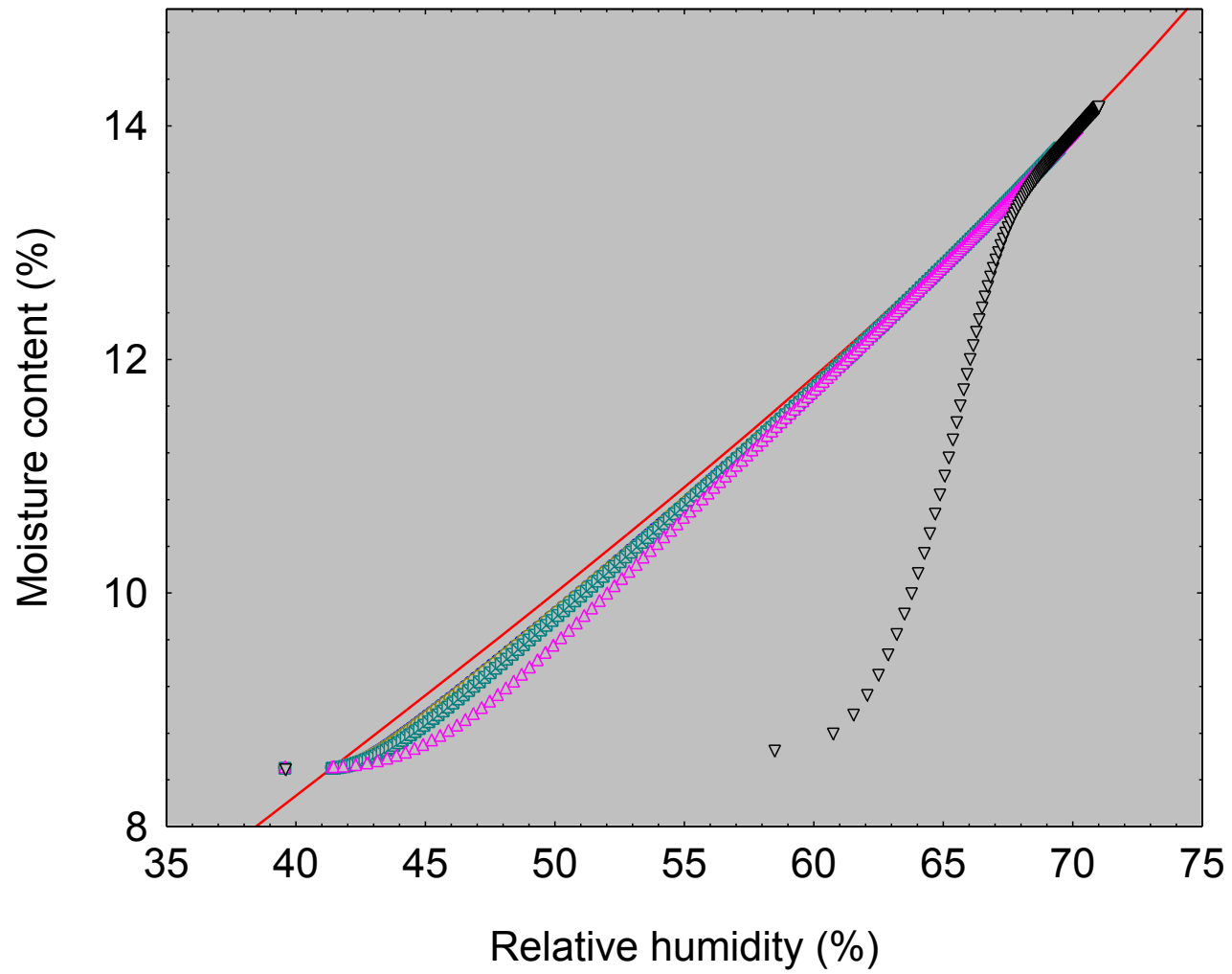
Test 3



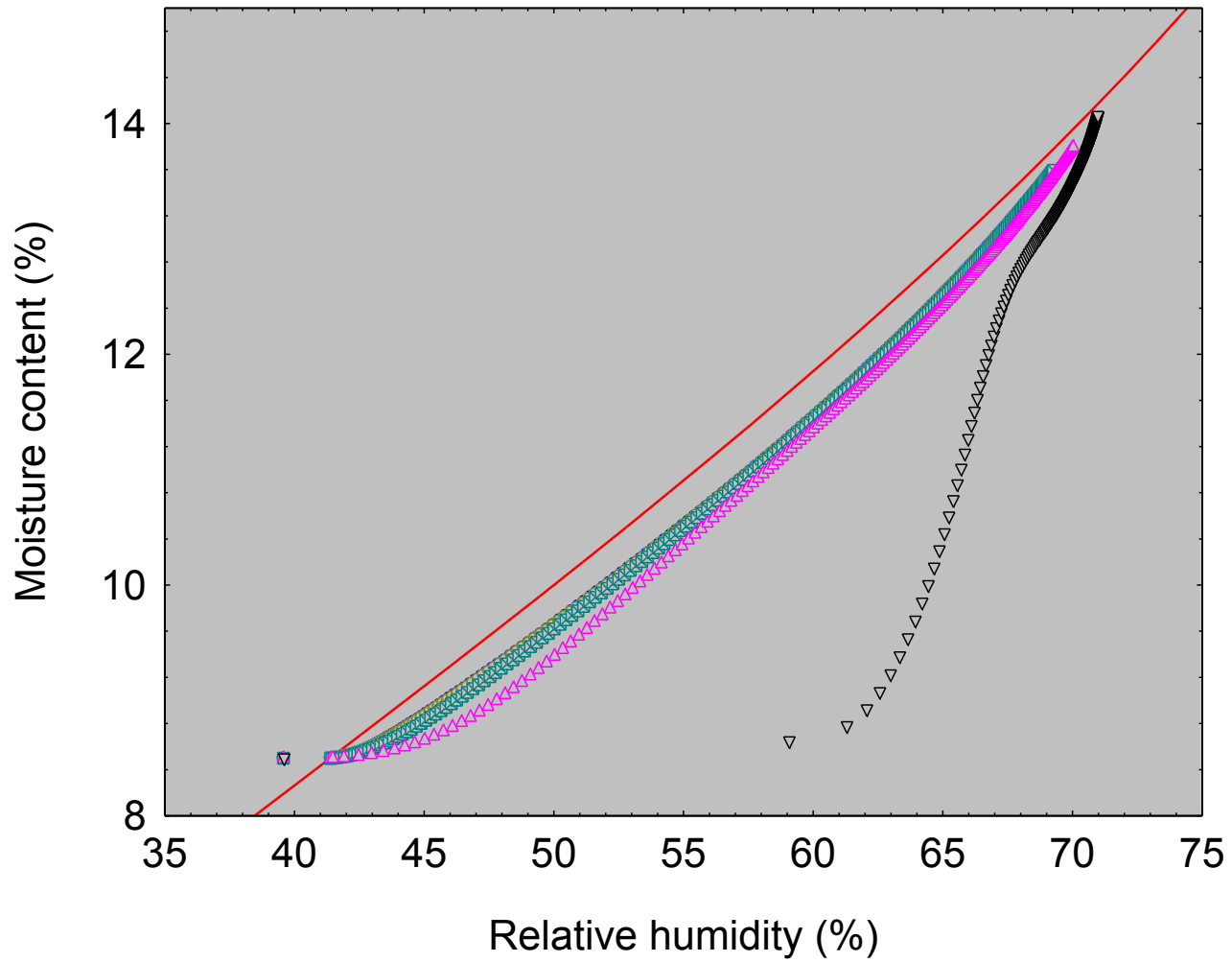
Test 1



Test 2



Test 3

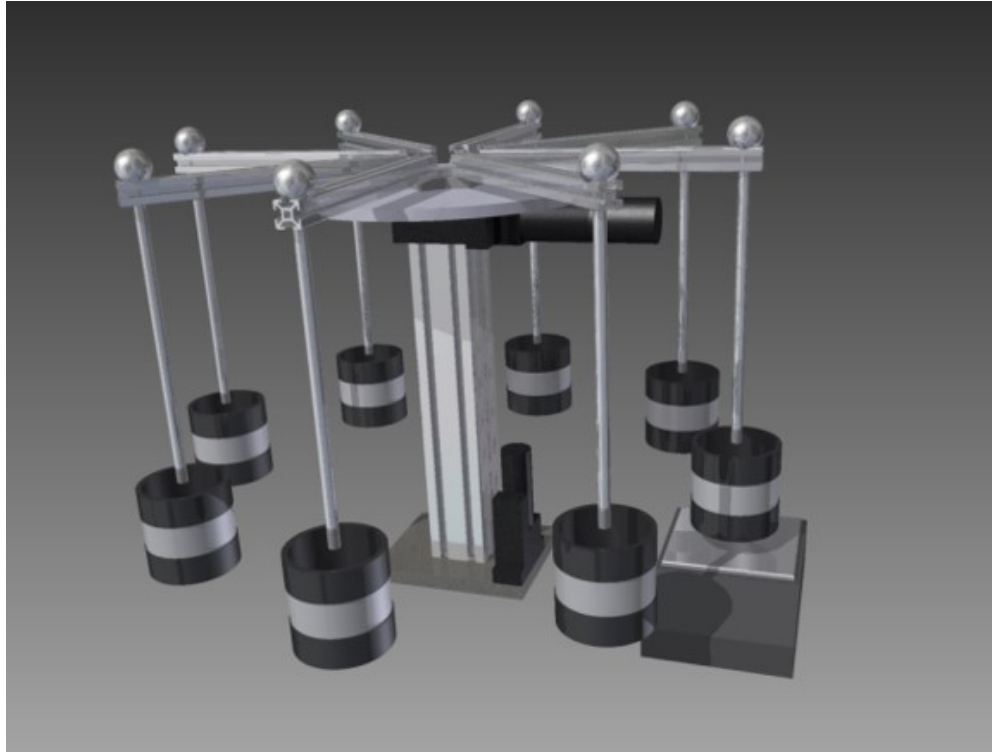


The parallel flow model : quite simple but powerful:

- Sorption hysteresis
- Dual-scale effects
- Time delay due to macromolecular relaxation



A new specific device 'almost' in operation



+ BET and Rubotherm

X-ray μ -tomography (ESRF, synchrotron beam, 0.7 μm spatial resolution)

